

آزمایشگاه مقاومت مصالح

گزارش آزمایش شماره ۱

خمش تیرهای مستقیم

۹۴/۸/۲۷

G2

اعضاي گروه:

- ۱- علی آماده
- ۲- حسین باشی
- ۳- سروش حبیبی
- ۴- یاسین ساقیان

نیمسال اول ۹۴-۹۵
دانشکده مهندسی مکانیک
پردیس دانشکده‌های فنی دانشگاه تهران

برگه آزمایش

خشن نیزه های مستقیم - تحقیق اصل دو طرفه ماسکول			نام آزمایش	شماره آزمایش
نام کروپ	نام کروپ	نیداد	۱	تاریخ انجام آزمایش
C	۲	جنسن	۹۶/۸/۱۷	تاریخ انجام آزمایش
هزاران ناچیز (دسته)	نام و نام خانوادگی	هزاران ناچیز (دسته)	نام و نام خانوادگی	نام و نام خانوادگی
۱۰۰	سوسن صی	-	-	سوسن صی
=	لیسا سالیان	-	-	لیسا سالیان

امضای سوپریورست آزمایش

جنس نمر	$\delta_1(0.01mm)$	$\delta_2(0.01mm)$	$\delta_{12}(0.01mm)$	$\delta_{23}(0.01mm)$	$\delta_{12}(0.01mm)$	$\delta_{23}(0.01mm)$
AL	0.5					
	1					
	1.5					
	2					
	2.5					
	3					
BRASS	3.5					
	4					
	4.5					
	5					
	5.5					
	6					
COPPER	6.5	۱۸	۱۵	۱	۱	۱
	7	۳۵	۲۵	۲	۲	۲
	7.5	۲۵	۱۷	۷	۷	۷
	8	۲۴	۱۲	۹	۹	۹
	8.5	۲۵	۲۸	۱۱	۱۱	۱۱
	9	۲۵	۲۵	۱۲	۱۲	۱۲
D=2.38 mm	9.5	۱۱۰	۱۰۹	۱۲	۱۲	۱۲
	10	۱۳۷	۱۲۰	۱۹	۱۹	۱۹
	10.5	۱۲۸	۱۱۱	۱۱	۱۱	۱۱
	11	۱۱۰	۱۰۵	۱۰	۱۰	۱۰
	11.5	۱۰۰	۹۰	۱۱	۱۱	۱۱
	12	۱۰۰	۹۰	۱۰	۱۰	۱۰
D=2.42 mm	0.2	۱۰	۱۰	۱۰	۱۰	۱۰
	0.4	۱۰.۸	۱۲	۱۰	۱۰	۱۰
	0.6	۱۱.۱	۱۲	۱۱	۱۱	۱۱
	0.8	۱۱.۹	۱۲	۱۱	۱۱	۱۱
	1	۱۲.۸	۱۲	۱۱	۱۱	۱۱
	1.2	۱۲.۲	۱۲	۱۱	۱۱	۱۱
D=2.47 mm	1	۱۲.۸	۱۲	۱۱	۱۱	۱۱
	1.2	۱۲.۲	۱۲	۱۱	۱۱	۱۱
	1.4	۱۲.۲	۱۲	۱۱	۱۱	۱۱
	1.6	۱۲.۲	۱۲	۱۱	۱۱	۱۱
	1.8	۱۲.۲	۱۲	۱۱	۱۱	۱۱
	2	۱۲.۲	۱۲	۱۱	۱۱	۱۱
D=2.50 mm	1	۱۲.۸	۱۲	۱۱	۱۱	۱۱
	1.2	۱۲.۲	۱۲	۱۱	۱۱	۱۱
	1.4	۱۲.۲	۱۲	۱۱	۱۱	۱۱
	1.6	۱۲.۲	۱۲	۱۱	۱۱	۱۱
	1.8	۱۲.۲	۱۲	۱۱	۱۱	۱۱
	2	۱۲.۲	۱۲	۱۱	۱۱	۱۱

موارد مورد ابتدا (دیگر جهت انداده کنید) - طول نمر ۲- فاصله بین دو نکته ۳-۴- فرسی، اوزیرها و عرضی بسته های این

گزین طول اکل نمر از دو هرچه بسته دیگر عرض اوزیر از های انداده کنید با انداده کنید از

نکته از نکته های بین قوانین میانه و اوزیر در آزمایش بین ماسکول ۸- دقت کوپس ۶- اعداد سطح مقطع نیزها

تحلیل میشوند

گزارش مختصر

آزمایشگاه مقاومت مصالح

دانشکده مهندسی مکانیک

نام آزمایش: خمین تبرهای مستقیم

卷之三

- ## ۱. شرح دساؤردهای سهم از مایش

لذلك فإن المقصود بالمعنى المترافق مع سادو ينطوي على فهم عزل جزئي من
ذلك المفهوم، أي على مفهوم كون المترافق مع سادو هو مفهوم ذاتي محدود إلى المترافق
مع سادو، مما يعني أن المترافق مع سادو هو مفهوم ذاتي محدود إلى المترافق مع سادو،
وهو المترافق مع سادو، أي المترافق مع سادو هو مفهوم ذاتي محدود إلى المترافق مع سادو.

2 ملک احتمالی حدا

- ۱- این ساعت صبح نیمه تر میگردید. (ایندر محدودیت) شمع خاکزدیر باشد
۲- لفظی که بگذر این روزهای سخت و دردناک است و همچنان معمول است درین ساعت میگذرد و میتوان عقایص
گذشته از قدر مدت بیشتر است و اینجا نیز این رسم تقویت شده است. یعنی انسان پس از این
درستی که نیمه ساعت است، ۵ دقیقه از همین زمان جداگانه میگذرد و میگذرد اور کان
را ورن منزه ۴

3 چه روشی را برای سنجش عملی شب در یک نقطه شهاد می دهد؟

اسلام عالی لر دینه هایی می باشد و میتواند این را در این زمینه جای خود
گیرد و باید از آن برای تبلیغ اسلام استفاده شود. این مذاق اسلامی خواسته است که این
مذکور شود و این مذکور شود و این مذکور شود

4 اصل دو طرفه ماکسول جست و چگونه می توان آن را در عمل تحقق نمود؟

عن ١٠٠ جزء من دعا نعم مساعدة ابراهيم لـ زواره في تفعيل خطة إصلاح (٢)

مهم ۱۱) خیز تیر نقطه B را از مارکهای مخصوص A برای است.

دو لایحه از همین دستورالعمل را در اینجا آورده ایم که با استفاده از دو مدل و تصریف آنها میتوان بر عمل فیزیکی این دستورالعمل تأثیر بسیار قابل توجهی نداشت.

برگه نمره

آزمایش شماره ۱

خمس تیرهای مستقیم

سرپرست آزمایش:

ریز نمرات

حداکثر نمره	نمره خام	شرح موضوع
۳		مقدمه
۲		تئوری
۱۰		شرح آزمایش
۲۰		نتایج آزمایش
۲۵		بحث و بررسی نتایج آزمایش
۵		جمع بندی و نتیجه‌گیری
۱۰		مراجع و ضمائن
۲۵		گزارش مختصر
۱۰۰		جمع کل

نمره گزارش

نمره	ضریب تصحیح	نمره خام

نمره افراد

نمره نهایی	تاخیر	نام	
	-	علی آماده	۱
	-	حسین باشی	۲
	-	سروش حبیبی	۳
	-	یاسین ساقیان	۴

امضا سرپرست آزمایش

فهرست مطالب

۷.....	۱- مقدمه
۸.....	۲- تئوری
۸.....	۱-۲- تئوری خمین ساده
۹.....	۲-۲- اصل دوطرفه‌ی ماسکول
۱۰	۳- شرح آزمایش
۱۰	۱-۳- وسایل مورد استفاده در آزمایش
۱۲.....	۲-۳- نحوه‌ی انجام آزمایش
۱۳.....	۱-۲-۳- بارگذاری در دو انتهای تیر
۱۳.....	۲-۲-۳- بارگذاری به فاصله‌ی یک سوم از تکیه‌گاهها
۱۴.....	۳-۲-۳- تحقیق اصل دوطرفه‌ی ماسکول
۱۴.....	۳-۳- منابع خطاب
۱۵.....	۴- نتایج آزمایش
۱۵.....	۱-۴- تیر مسی
۱۵.....	۱-۱-۴- بارگذاری در دو انتهای تیر
۱۹.....	۱-۲-۴- بارگذاری بین دو تکیه‌گاه
۲۲.....	۱-۳- تحقیق اصل دوطرفه‌ی ماسکول
۲۳.....	۲-۴- تیر فولادی
۲۳.....	۱-۲-۴- بارگذاری در دو انتهای تیر
۲۶.....	۲-۲-۴- بارگذاری بین دو تکیه‌گاه
۲۹.....	۳-۲-۴- تحقیق اصل دوطرفه‌ی ماسکول
۳۰.....	۵- بحث و بررسی نتایج آزمایش
۳۳.....	۶- جمع‌بندی و نتیجه‌گیری
۳۴.....	۷- مراجع
۳۵.....	۸- ضمایم

فهرست اشکال

..... ۸	شکل ۱: تغییر شکل تیر در اثر اعمال گشتاور خمی.
..... ۹	شکل ۲: بارگذاری در دو انتهای تیر
..... ۹	شکل ۳: بارگذاری در فاصله‌ی یک سوم از تکیه‌گاه‌های تیر
..... ۹	شکل ۴: تحقیق اصل دو طرفه‌ی ماسکول در تیر تحت خمش خالص
..... ۱۰	شکل ۵: فونداسیون دستگاه انجام آزمایش
..... ۱۰	شکل ۶: ساعت موجود بر روی فونداسیون دستگاه انجام آزمایش برای تعیین میزان جابجایی وسط تیر
..... ۱۱	شکل ۷: تیرهای موجود برای انجام آزمایش بر روی آنها
..... ۱۱	شکل ۸: ساعت مورد استفاده برای تحقیق اصل دو طرفه‌ی ماسکول
..... ۱۲	شکل ۹: آویز اعمال بار و بست مورد استفاده برای ثبت آن
..... ۱۳	شکل ۱۰: نحوی بارگذاری در دو انتهای تیر
..... ۱۳	شکل ۱۱: بارگذاری در فاصله‌ی یک سوم از هر تکیه‌گاه
..... ۱۴	شکل ۱۲: تحقیق اصل دو طرفه‌ی ماسکول به وسیله‌ی آزمایش
..... ۱۷	شکل ۱۳: نمودار تغییرات جابجایی وسط تیر (δ) بر حسب بار اعمالی (P) در حالت بارگذاری در دو انتهای تیر مسی
..... ۱۸	شکل ۱۴: نمودار تغییرات جابجایی وسط تیر (δ) بر حسب بار اعمالی (P) در حالت بارگذاری در دو انتهای تیر مسی به همراه خطوط اعتماد
..... ۲۰	شکل ۱۵: نمودار تغییرات جابجایی وسط تیر (δ) بر حسب بار اعمالی (P) در حالت بارگذاری بین دو تکیه‌گاه تیر مسی
..... ۲۱	شکل ۱۶: نمودار تغییرات جابجایی وسط تیر (δ) بر حسب بار اعمالی (P) در حالت بارگذاری بین دو تکیه‌گاه تیر مسی به همراه خطوط اعتماد
..... ۲۴	شکل ۱۷: نمودار تغییرات جابجایی وسط تیر (δ) بر حسب بار اعمالی (P) در حالت بارگذاری در دو انتهای تیر فولادی
..... ۲۵	شکل ۱۸: نمودار تغییرات جابجایی وسط تیر (δ) بر حسب بار اعمالی (P) در حالت بارگذاری در دو انتهای تیر فولادی به همراه خطوط اعتماد
..... ۲۷	شکل ۱۹: نمودار تغییرات جابجایی وسط تیر (δ) بر حسب بار اعمالی (P) در حالت بارگذاری بین دو تکیه‌گاه تیر فولادی
..... ۲۸	شکل ۲۰: نمودار تغییرات جابجایی وسط تیر (δ) بر حسب بار اعمالی (P) در حالت بارگذاری بین دو تکیه‌گاه تیر فولادی به همراه خطوط اعتماد
..... ۳۵	شکل ۲۱: بارگذاری در دو انتهای تیر
..... ۳۶	شکل ۲۲: بارگذاری در فاصله‌ی یک سوم از تکیه‌گاه‌های تیر
..... ۳۷	شکل ۲۳: اصل دو طرفه‌ی ماسکول در تیر نشان داده شده
..... ۳۷	شکل ۲۴: نمودار نیروی F _۱ بر حسب جابجایی نقطه‌ی اول

فهرست جداول

جدول ۱: مقادیر اندازه‌گیری شده برای برخی از وسایل مورد استفاده در آزمایش.....	۱۵
جدول ۲: داده‌های حاصل از آزمایش در حالت بارگذاری در دو انتهای تیر مسی.....	۱۵
جدول ۳: اطلاعات مورد نیاز برای محاسبات در حالت بارگذاری در دو انتهای تیر مسی.....	۱۶
جدول ۴: داده‌های حاصل از آزمایش در حالت بارگذاری در بین دو تکیه‌گاه تیر مسی.....	۱۹
جدول ۵: اطلاعات مورد نیاز برای محاسبات در حالت بارگذاری بین دو تکیه‌گاه تیر مسی.....	۲۰
جدول ۶: نتایج حاصل از آزمایش تحقیق اصل دوطرفه‌ی ماکسول برای تیر مسی.....	۲۲
جدول ۷: داده‌های حاصل از آزمایش در حالت بارگذاری در دو انتهای تیر فولادی.....	۲۳
جدول ۸: اطلاعات مورد نیاز برای محاسبات در حالت بارگذاری در دو انتهای تیر فولادی.....	۲۳
جدول ۹: داده‌های حاصل از آزمایش در حالت بارگذاری در بین دو تکیه‌گاه تیر فولادی.....	۲۶
جدول ۱۰: اطلاعات مورد نیاز برای محاسبات در حالت بارگذاری بین دو تکیه‌گاه تیر فولادی.....	۲۶
جدول ۱۱: نتایج حاصل از آزمایش تحقیق اصل دوطرفه‌ی ماکسول برای تیر فولادی.....	۲۹
جدول ۱۲: ضرایب همبستگی (I^2) محاسبه شده برای تیر مسی.....	۳۰
جدول ۱۳: ضرایب همبستگی (I^2) محاسبه شده برای تیر فولادی.....	۳۰
جدول ۱۴: نتایج به دست آمده برای مدول الاستیسیته‌ی تیر مسی هنگام بارگذاری در دو انتهای تیر.....	۳۰
جدول ۱۵: نتایج به دست آمده برای مدول الاستیسیته‌ی تیر مسی هنگام بارگذاری در فاصله‌ی یک سوم از دو سر تکیه‌گاهها	۳۰
جدول ۱۶: نتایج به دست آمده برای مدول الاستیسیته‌ی تیر فولادی هنگام بارگذاری در دو انتهای تیر.....	۳۱
جدول ۱۷: نتایج به دست آمده برای مدول الاستیسیته‌ی تیر مسی هنگام بارگذاری در فاصله‌ی یک سوم از دو سر تکیه‌گاهها	۳۱
جدول ۱۸: مقایسه‌ی مدول الاستیسیته‌ی به دست آمده از آزمایش و مدول الاستیسیته‌ی تئوری برای تیر مسی	۳۱
جدول ۱۹: مقایسه‌ی مدول الاستیسیته‌ی به دست آمده از آزمایش و مدول الاستیسیته‌ی تئوری برای تیر فولادی.....	۳۱

۱- مقدمه

در مهندسی، به میزان جابجایی یک عضو سازه‌ای تحت اثر بار، خیز گفته می‌شود که ممکن است به یک زاویه یا یک طول نسبت داده شود. اندازه‌ی خیز یک عضو در زیر بار، رابطه‌ی مستقیمی با شیب جسم تغییر شکل یافته تحت اثر آن بار دارد. این اندازه را می‌توان با انتگرال گیری از تابعی که شیب جسم بارگذاری شده را به صورت ریاضی توصیف می‌کند، حساب کرد. خیز به وسیله‌ی رابطه‌ی استاندارد (که تنها خیز تیرهای رایج تحت اثر بارگذاری‌های جداگانه را به دست می‌دهد) و یا به وسیله‌ی روش‌هایی همچون کار مجازی، انتگرال گیری مستقیم، روش کاستیگلیانو، روش مکالی، روش سختی مستقیم، روش لنگر- سطح، روش جمع آثار، روش تیر مزدوج ... به دست می‌آید. خیز یک تیر معمولاً با استفاده از رابطه‌ی تیر اولر- برنوی و خیز یک عضو صفحه‌ای یا پوسته‌ای نیز به وسیله‌ی نظریه‌ی صفحه یا پوسته محاسبه می‌شود. یکی از کاربردهای خیز، در ساختمان‌سازی است. معماران و مهندسان، مصالح را برای کارکردهای مختلفی انتخاب می‌کنند. جنس و مصالح تیرهای اسکلت ساختمان، بر اساس خیز و عوامل دیگر انتخاب می‌شوند. در این آزمایش به بررسی خمس تیرهای مستقیم می‌پردازیم تا چگونگی تغییر مکان ناشی از خمش این تیرها مشاهده شده و دیدی مهندسی از آن‌ها به دست آورد زیرا این کار باعث کمک به ما در امر طراحی می‌شود؛ در حقیقت هدف از انجام این آزمایش در ابتدا تحقیق خطی بودن تغییرات خیز تیر بر حسب بار اعمالی به آن و هم‌چنین تحقیق روابط کلاسیک خیز تیر با توجه به شکل سطح مقطع است؛ هدف دیگر از انجام این آزمایش یافتن مدول ارجاعی تیر و تحقیق ثابت بودن آن می‌باشد؛ آخرین هدف از انجام این آزمایش نیز تحقیق درستی اصل دو طرفه‌ی ماسکول است. مراجع اصلی مورد استفاده در این آزمایش ابتدا دستور کار آزمایشگاه مقاومت مصالح و سپس کتاب‌های مقاومت مصالح نوشته‌ی بیر- جانسون و دکتر محمد حسن نایی می‌باشند.

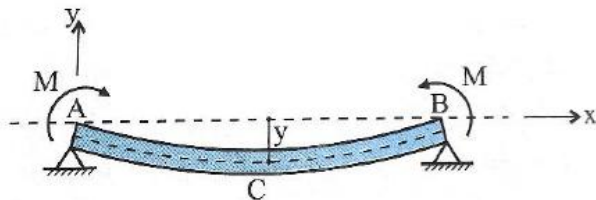
در ادامه‌ی این گزارش و در بخش دوم ابتدا در مورد چگونگی استخراج روابط مربوط به خیز تیر تحت خمش خالص توضیح داده می‌شود و پس از آن توضیحاتی در مورد اصل دو طرفه‌ی ماسکول آورده خواهد شد؛ در بخش سوم توضیحاتی در مورد چگونگی انجام آزمایش بر روی دو تیر مسی و فولادی و هم‌چنین وسایل اندازه‌گیری مورد استفاده در انجام این آزمایش آورده می‌شود و منابع احتمالی خطابه طور خلاصه توضیح داده خواهند شد؛ در بخش چهارم به بررسی رابطه‌ی بین میزان خیز تیر و نیروی اعمالی پرداخته می‌شود و پس از آن میزان مدول الاستیسیته‌ی تیر و میزان خطای آن محاسبه خواهد شد؛ در بخش پنجم نتایج آزمایش مورد بحث و بررسی بیشتر قرار می‌گیرند و در مورد علل اختلاف بین مدول‌های الاستیسیته‌ی محاسبه شده با استفاده از دو آزمایش انجام شده و هم‌چنین اختلاف بین آن‌ها با مدول الاستیسیته‌ی مندرج در جداول معتبر که همان عوامل ایجاد کننده‌ی خطا در آزمایش می‌باشند، توضیحاتی ارائه خواهد شد.

لغات کلیدی: خیز، شیب، بار، رابطه‌ی تیر اولر- برنوی، تیر مستقیم، مدول الاستیسیته، اصل دو طرفه‌ی ماسکول.

۲- تئوری

۱-۲- تئوری خمش ساده

اگر تیری مستقیم را در نظر بگیریم که تحت گشتاور خمشی قرار گرفته باشد، در اثر خمش در تیر انحنای به وجود می‌آید که باعث تغییر مکان تیر می‌گردد. منظور از تغییر مکان تیر جابجایی جانبی محور مرکزی تیر در جهت عمود بر وضعیت اولیه آن می‌باشد. شکل زیر مقدار تغییر مکان نقطه‌ی C (y) از تیر AB را نشان می‌دهد:



شکل ۱ : تغییر شکل تیر در اثر اعمال گشتاور خمشی

برای به دست آوردن تغییر مکان تیرها ابتدا معادله‌ی تغییر مکان تیر را به دست می‌آوریم. با استفاده از رابطه‌ی بین شاع انحنا و گشتاور خمشی داریم:

$$\frac{1}{R} = \frac{M(x)}{EI}$$

با به کارگیری فرمول ریاضی موجود برای انحنای تابع y داریم:

$$\frac{1}{R} = \frac{y''}{(1 + y'^2)^{\frac{3}{2}}}$$

با صرف نظر کردن از y' به علت کوچک بودن شیب تیر و مقایسه‌ی روابط بالا می‌توان نتیجه گرفت:

$$EIy'' = M(x)$$

برای تیری که تحت بار گسترده‌ی w بر واحد طول قرار گرفته است رابطه‌ی بین نیروی برشی V و بار گسترده همان‌گونه که از استاتیک می‌دانیم به صورت $-W = \frac{dV}{dx}$ و رابطه‌ی بین گشتاور خمشی و نیروی برشی به صورت $\frac{dM}{dx} = V(x)$ می‌باشد. از این روابط و رابطه‌ی بالا به سادگی نتیجه می‌شود:

$$\frac{d}{dx}(EIy'') = V(x)$$

$$\frac{d^2}{dx^2}(EIy'') = -w(x)$$

در صورتیکه EI ثابت باشد داریم:

$$EIy''' = V(x)$$

$$EIy'''' = -w(x)$$

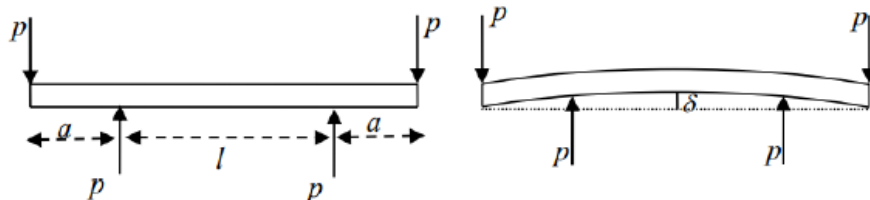
عموماً از معادلات بالا برای تعیین تغییر مکان تیرها استفاده می‌شود.

اگر بارگذاری در دو انتهای تیر انجام شود، رابطه‌ی بین میزان جابجایی نقطه‌ی وسط تیر بر حسب بار اعمالی را می‌توان به صورت زیر نوشت (اثبات این رابطه در بخش ضمائم آورده شده است):

$$y = \frac{Pal^2}{8EI}$$

در رابطه‌ی بالا P نیروی اعمال شده به تیر، a فاصله‌ی هریک از سر آزاد نزدیک به آن، I فاصله‌ی بین دو تکیه‌گاه، E مدول الاستیسیته‌ی تیر و I ممان اینرسی سطح مقطع تیر است که از رابطه‌ی زیر به دست می‌آید:

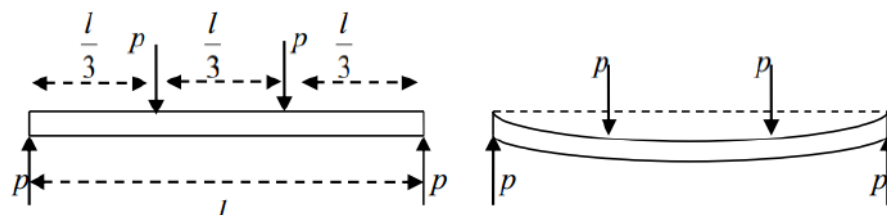
$$I = \frac{1}{12} ab^3$$



شکل ۲: بارگذاری در دو انتهای تیر

اگر بارگذاری در فاصله‌ی یک سوم از دو تکیه‌گاه تیر انجام شود رابطه‌ی بین میزان جابجایی نقطه‌ی وسط تیر بر حسب بار اعمالی را می‌توان به صورت زیر نوشت (اثبات این رابطه در بخش ضمائم آورده شده است):

$$y = \frac{23Pal^3}{648EI}$$

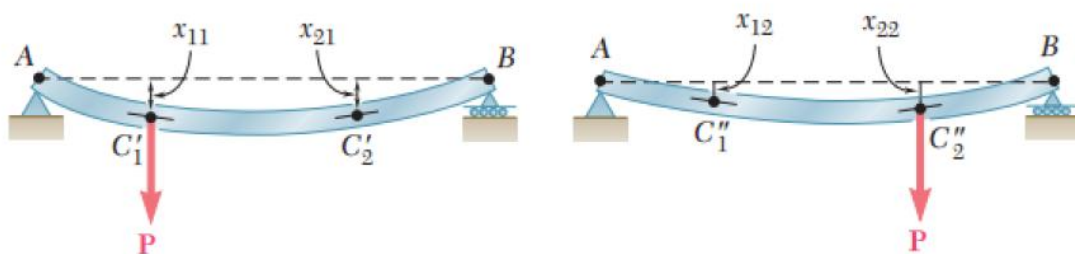


شکل ۳: بارگذاری در فاصله‌ی یک سوم از تکیه‌گاه‌های تیر

۲-۲-۲- اصل دو طرفه‌ی ماقسول

بر طبق این اصل، جابجایی نقطه‌ی C'_2 در شکل زیر بر اثر بار اعمال شده به تیر در نقطه‌ی C'_1 برابر جابجایی نقطه‌ی C''_1 بر اثر بار اعمال شده به تیر در نقطه‌ی C''_2 می‌باشد، به عبارت دیگر می‌توان نوشت:

$$x_{21} = x_{12}$$



شکل ۴: تحقیق اصل دو طرفه‌ی ماقسول در تیر تحت خمسن خالص

این اصل به افتخار جیمز کلارک ماقسول دانشمند سرشناس انگلیسی به نام وی نام‌گذاری شده است (اثبات این قضیه در بخش ضمائم آورده شده است).

۳- شرح آزمایش

۱-۳- وسایل مورد استفاده در آزمایش

- فونداسیون آزمایش

دستگاه دارای یک بدنه است که روی آن دوپایه متحرک قرار دارد به گونه‌ای که می‌توان آن‌ها را جابه‌جا کرد و سپس به کمک پیچ آن‌ها را مقید کرده و به این ترتیب فاصله‌ی بین دو تکیه‌گاه را تنظیم نمود. روی هر یک از این دوپایه‌ها، تکیه‌گاه‌هایی به صورت مثلثی شکل قرار گرفته است که نقش تکیه‌گاه ساده را دارند.

در وسط دستگاه یک میله وجود دارد که روی آن محور یک ساعت اندازه‌گیری نصب می‌گردد که دارای دقت اندازه‌گیری ۰/۰۱ میلی‌متر است (این ساعت به ۱۰۰ قسمت تقسیم شده است و هر دور ساعت برابر با یک میلی‌متر هست)، این ساعت را می‌توان به کمک یک پیچ بر روی میله بالا و پایین برد و به این ترتیب ارتفاع آن را برای اندازه‌گیری خیز وسط تیر تنظیم کرد، پیچ دیگری نیز وجود دارد که به کمک آن می‌توان زاویه‌ی قرار گرفتن ساعت را مشخص کرد؛ به کمک این دوپیچ ساعت را عمود بر تیر قرار می‌دهیم.



شکل ۵: فونداسیون دستگاه انجام آزمایش



شکل ۶: ساعت موجود بر روی فونداسیون دستگاه انجام آزمایش برای تعیین میزان جابجایی وسط تیر

- تیرهای مورد آزمایش

در این آزمایش تیرهای مسی و فولادی به عنوان تیر مورد آزمایش انتخاب شده‌اند.



شکل ۷: تیرهای موجود برای انجام آزمایش بر روی آن‌ها

- ساعت اندازه‌گیری مورد استفاده در آزمایش تحقیق اصل دوطرفه‌ی ماکسول

ساعت اندازه‌گیری دیگری نیز بر روی یک پایه قرار دارد که زیر تیر قرار می‌گیرد و دقت این ساعت نیز $1/00$ میلی‌متر است و همانند ساعت قبل دارای دوپیچ برای تنظیم کردن ساعت و عمود کردن آن بر تیر می‌باشد.



شکل ۸: ساعت مورد استفاده برای تحقیق اصل دوطرفه‌ی ماکسول

- آویز اعمال بار

این آویز برای بارگذاری بر روی تیر مورد استفاده قرار می‌گیرد.

- بست

برای ثبیت وزنهای بر روی تیر از دو بست استفاده می‌شود.



شکل ۹: آویز اعمال بار و بست مورد استفاده برای ثبیت آن

- وزنهای

برای بارگذاری بر روی تیر از ۹ وزنهای ۵۰۰ گرمی (برای تیر مسی) و ۶ وزنهای ۲۰۰ گرمی (برای تیر فولادی) استفاده می‌شود.

- کولیس

برای اندازه‌گیری ابعاد سطح مقطع تیر و ضخامت آویزها و بستهای از کولیس استفاده می‌شود که دقت آن برابر ۰/۰۲ میلی‌متر است.

- متر

برای اندازه‌گیری طول تیرها، فاصله‌ی بین تکیه‌گاه‌ها و... از متر استفاده می‌شود که دقت آن برابر ۱ میلی‌متر است.

۲-۳- نحوه انجام آزمایش

ابتدا طول تیر را کمک متر اندازه‌گیری کرده و برحسب میلی‌متر ثبت می‌کنیم، سپس به کمک متر فاصله‌ی بین دو تکیه‌گاه

اندازه‌گیری می‌شود؛ ضمناً وسط تیر و همچنین محل قرار گرفتن تیر بر روی تکیه‌گاه علامت زده می‌شود (به‌گونه‌ای که تیر

به صورت متقارن بر روی تکیه‌گاه‌ها قرار گیرد). سطح مقطع تیر نیز در این مرحله به وسیله‌ی کولیس اندازه‌گیری می‌شود.

تیر بر روی تکیه‌گاه‌ها قرار داده می‌شود و سپس روی تیر سوار می‌شوند و بعد از آن بست هر کدام از آویزها پشت آویز مربوطه

قرار گرفته و به کمک پیچ محکم می‌گردد. ساعت بالای تیر به صورت عمود (هم از رو به رو و هم از طرفین) بر وسط تیر قرار می‌گیرد.

۳-۲-۱- بارگذاری در دو انتهای تیر

در مرحله‌ی اول آزمایش محل قرارگیری آویزها در دو انتهای تیر است، وقتی به دو سر تیر نیرو وارد می‌شود جابه‌جایی وسط تیر به سمت بالا خواهد بود، به همین دلیل در هنگام قرار دادن ساعت، پراب آن باید تا انتهای بیرون باشد تا در هنگام جابه‌جایی وسط تیر به بالا میزان جابه‌جایی مشخص گردد. ساعت روی صفر تنظیم می‌شود؛ بارگذاری بهصورت متقارن با قرار دادن وزنهای ۵۰۰ گرمی در هر طرف تیر آغاز می‌شود و با قدمهای ۵۰۰ گرمی وزنه به طرفین اضافه می‌گردد و در هر مرحله جابه‌جایی نقطه‌ی مانی تیر ثبت می‌گردد.



شکل ۱۰: نحوه بارگذاری در دو انتهای تیر

۳-۲-۲- بارگذاری به فاصله‌ی یک سوم از تکیه‌گاهها

در مرحله‌ی اول آزمایش محل قرارگیری آویزها در دو انتهای تیر است، وقتی به دو سر تیر نیرو وارد می‌شود جابه‌جایی وسط تیر به سمت بالا خواهد بود، به همین دلیل در هنگام قرار دادن ساعت، پراب آن باید تا انتهای بیرون باشد تا در هنگام جابه‌جایی وسط تیر به بالا میزان جابه‌جایی مشخص گردد. ساعت روی صفر تنظیم می‌شود؛ بارگذاری بهصورت متقارن با قرار دادن وزنهای ۵۰۰ گرمی در هر طرف تیر آغاز می‌شود و با قدمهای ۵۰۰ گرمی وزنه به طرفین اضافه می‌گردد و در هر مرحله جابه‌جایی نقطه‌ی مانی تیر ثبت می‌گردد.



شکل ۱۱: بارگذاری در فاصله‌ی یک سوم از هر تکیه‌گاه

۳-۲-۳- تحقیق اصل دوطرفه‌ی ماسکول

در مرحله‌ی اول این قسمت از آزمایش تیر به کمک علامت‌های موجود بر روی آن، روی تکیه‌گاه قرار می‌گیرد؛ ساعت بالایی بار دیگر مانند قسمت دوم بر تیر عمود می‌شود، یکی از آویزها در فاصله‌ی ۱۲۰ میلی‌متری از تکیه‌گاه قرار می‌گیرد و سپس با وزنه‌های ۵۰۰ گرمی بارگذاری را آغاز کرده و با قدمهای ۵۰۰ گرم پیش رفته و در هر مرحله میزان جابه‌جایی وسط تیر به کمک ساعت بالایی ثبت می‌گردد.

در مرحله‌ی دوم، ساعت اول را از روی تیر برداشته و آویز را در وسط تیر و ساعتی را که دارای پایه است زیر تیر در محل بارگذاری مرحله‌ی قبل به صورت عمود بر تیر قرار می‌دهیم. بارگذاری را با وزنه‌های ۵۰۰ گرمی آغاز کرده و با قدمهای ۵۰۰ گرمی ادامه می‌دهیم و در هر مرحله، جابه‌جایی در فاصله‌ی ۱۲۰ میلی‌متری از تکیه‌گاه به کمک ساعت پایه‌دار ثبت می‌گردد.



شکل ۱۲: تحقیق اصل دوطرفه‌ی ماسکول به وسیله‌ی آزمایش

۳-۳- منابع خطأ

- ۱- پراب ساعت حتماً در هنگام آزمایش می‌بایست بر سطح تیر عمود باشد و در غیر این صورت خطای زیادی در نتایج به دست آمده از آزمایش ایجاد می‌شود.
- ۲- تعیین محل بارگذاری به دلیل آنکه به وسیله‌ی ابزارآلات دقیق انجام نمی‌شود دارای خطاست.
- ۳- وزن آویز اعمال بار در محاسبات وارد نمی‌شود اگرچه باعث اعمال نیروی اضافی (از مقدار مورد نظر ما) بر روی تیر می‌شود.
- ۴- نوسان آونگ گونه‌ی آویز اعمال بار در نتایج تأثیرگذار است.
- ۵- جرم وزنه‌های مورد استفاده در آزمایش ممکن است دقیقاً برابر جرم نامی آن‌ها نباشد که سبب ایجاد خطأ در بار اعمال شده به تیر می‌شود.

۴- نتایج آزمایش

در ابتدای آزمایش نیاز است تا مقادیر فاصله‌ی بین دو تکیه‌گاه، عرض آویزها و عرض بسته‌های موجود اندازه‌گیری شوند. نتایج حاصل شده در جدول زیر آورده شده است:

جدول ۱: مقادیر اندازه‌گیری شده برای برخی از وسایل مورد استفاده در آزمایش

۴۵۲mm	فاصله‌ی بین دو تکیه‌گاه
۱۲/۳۰ mm	عرض آویز
۱۲/۴۰ mm	عرض بست

۴-۱-۱-۴- تیر مسی

۴-۱-۱-۴- بارگذاری در دو انتهای تیر

در این قسمت از آزمایش بارگذاری در دو انتهای تیر انجام شده و مقدار خیز تیر در وسط آن به وسیله‌ی ساعت قرائت می‌شوند. داده‌های حاصل از آزمایش در جدول زیر آورده شده است:

جدول ۲: داده‌های حاصل از آزمایش در حالت بارگذاری در دو انتهای تیر مسی

m(kg)	$\delta(0.01\text{mm})$
۰/۵	۱۸
۱	۳۴
۱/۵	۵۰
۲	۶۶
۲/۵	۸۳
۳	۹۹
۳/۵	۱۱۵
۴	۱۳۲
۴/۵	۱۴۸

ابعاد سطح مقطع تیر که به وسیله‌ی کولیس اندازه‌گیری می‌شوند، عبارتند از (دقت کولیس برابر 0.02mm است):

$$a = 29.60\text{mm}$$

$$b = 9.78\text{mm}$$

بنابراین با استفاده از اطلاعات ابعاد سطح مقطع تیر می‌توانیم، مقدار ممان اینرسی تیر (I) را از رابطه‌ی زیر محاسبه کنیم:

$$I = \frac{1}{12} ab^3 = \frac{1}{12} \times 29.60 \times 9.78^3 = 2307.42 \text{ mm}^4$$

طول تیر (L) به وسیله‌ی متر اندازه‌گیری می‌شود و عبارت است از (دقت متر برابر 1mm است):

$$L = 1238\text{mm}$$

فاصله‌ی تکیه‌گاه تا محل بارگذاری (a) برابر است با:

$$a = \frac{1}{2}(1238 - 2 \times 12.40 - 12.30 - 452) = 374.45\text{mm}$$

از طرفی با توجه به تئوری مطرح شده می‌دانیم که میزان خیز تیر از رابطه‌ی زیر به دست می‌آید:

$$\delta = \frac{Pal^2}{8EI}$$

بنابراین اگر نمودار میزان خیز تیر(δ) بر حسب بار اعمال شده (P) رسم شود می‌توان مقدار ضریب الاستیسیته (E) را از روی شب منحنی به دست آورد؛ برای انجام این کار نیاز به استفاده از روابط مربوط به خط رگرسیون هستیم که در زیر اجمالاً به بررسی این روابط می‌پردازیم:

از آنجایی که طبق روابط مربوط به خیز تیر، نمودار تغییرات خیز بر حسب بار اعمالی خطی است، از این رو شب خط رگرسیون آن برابر است با:

$$a = \frac{[XY]}{[XX]}$$

که در رابطه‌ی بالا X متناظر با بار اعمالی و Y متناظر با میزان خیز تیر است؛ هم چنین علامت [] نشان دهنده‌ی حاصل جمع است.

مقدار ضریب رگرسیون (r^2) که دقیق خود مورد نظر را بیان می‌کند نیز از رابطه‌ی زیر به دست می‌آید:

$$r^2 = \frac{[XY]^2}{[XX][YY]}$$

برای محاسبه‌ی خطی ضریب a نیز می‌توان از روابط زیر استفاده نمود:

$$\alpha^2 = \frac{[dd]}{N - 2}$$

در رابطه‌ی فوق N برابر تعداد داده‌های آزمایش و d مقدار اختلاف بین مقدار به دست آمده از آزمایش و مقدار به دست آمده از خط رگرسیون است، یعنی:

$$d = aX - Y$$

در نهایت مقدار خطی ضریب a از رابطه‌ی زیر محاسبه می‌شود:

$$\frac{\alpha_a^2}{N} = \frac{\alpha^2}{\Delta}$$

در رابطه‌ی بالا Δ برابرست با:

$$\Delta = \begin{vmatrix} [XX] & [X] \\ [X] & N \end{vmatrix}$$

حال می‌توان با استفاده از روابط بالا مقدار مدول الاستیسیته‌ی تیر و مقدار خطی آن را با استفاده از روابط مربوط به جابجایی وسط تیر محاسبه کرد.

مقدار نیروی اعمالی (P) برابر نیروی وزن وزنه‌ها می‌باشد و با در نظر گرفتن شتاب جاذبه‌ی زمین (g) برابر 9.81 m/s^2 از رابطه‌ی زیر محاسبه می‌شود:

$$P = mg$$

اطلاعات لازم برای محاسبه‌ی مدول الاستیسیته با استفاده از بارگذاری در دو انتهای تیر در جدول زیر آورده شده است:

جدول ۳: اطلاعات مورد نیاز برای محاسبات در حالت بارگذاری در دو انتهای تیر مرسی

	m(kg)	P(N)	$\delta(0.01\text{mm})$	$PP(\text{N}^2)$	$P\delta(0.01\text{N.mm})$	$\delta^2(10^{-4}\text{mm}^2)$	$d(0.01\text{mm})$	$dd(10^{-4}\text{mm}^2)$
۰/۵	۴/۹۰۵	۱۸	۲۴/۰۵۹۰	۸۸/۲۹	۳۲۴	-۱/۵۰۱۵	۲/۲۵۴۵	
۱	۹/۸۱	۳۴	۹۶/۲۳۶۱	۳۳۳/۵۴	۱۱۵۶	-۱/۰۰۳۱	۱/۰۰۶۲	
۱/۵	۱۴/۷۱۵	۵۰	۲۱۶/۵۳۱۲	۷۳۵/۷۵	۲۵۰	-۰/۵۰۴۶	۰/۲۵۴۶	
۲	۱۹/۶۲	۶۶	۳۸۴/۹۴۴۴	۱۲۹۴/۹۲	۴۳۵۶	-۰/۰۰۶۱۶۸	۰/۰۰۰۳۸۰۴	
۲/۵	۲۴/۵۲۵	۸۳	۶۰۱/۴۷۵۶	۲۰۳۵/۵۷۵	۶۸۸۹	-۰/۵۰۷۷	۰/۲۵۷۸	
۳	۲۹/۴۳	۹۹	۸۶۶/۱۲۴۹	۲۹۱۳/۵۷	۹۸۰۱	-۰/۰۰۹۲۵۲	۰/۰۰۰۸۵۶۰	
۳/۵	۳۴/۳۳۵	۱۱۵	۱۱۷۸/۸۹۲۲	۳۹۴۸/۵۲۵	۱۳۲۲۵	۰/۴۸۵۸	۰/۲۳۶۰	
۴	۳۹/۲۴	۱۳۲	۱۵۳۹/۷۷۷۶	۵۱۷۹/۶۸	۱۷۴۲۴	-۰/۰۱۲۳۴	۰/۰۰۰۱۵۲۳	
۴/۵	۴۴/۱۴۵	۱۴۸	۱۹۴۸/۷۸۱۰	۶۵۳۳/۴۶	۲۱۹۰۴	۰/۴۸۶۱	۰/۲۳۶۳	
مجموع	۲۲/۵	۲۲۰/۷۲۵	۷۴۵	۶۸۵۶/۸۲۲۱	۲۳۰۶۳/۳۱	۷۷۵۷۹	-۲/۵۷۲۸	۴/۲۴۵۷

مقدار شیب خط رگرسیون برابرست با:

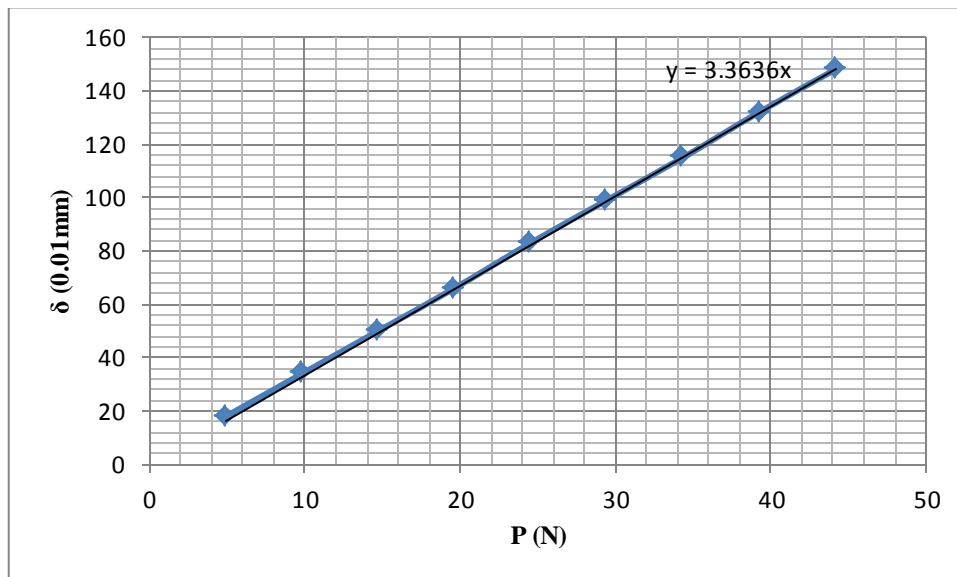
$$a' = \frac{[P\delta]}{[PP]} = \frac{23063.31}{6856.8221} = 3.3636 \frac{0.01mm}{N}$$

و مقدار ضریب همبستگی (r^2) برابرست با:

$$r^2 = \frac{[P\delta]^2}{[PP][\delta\delta]} = \frac{23063.31^2}{6856.8221 \times 77579} = 0.9999$$

نزدیک بودن مقدار ضریب همبستگی به ۱ نشانگر این است که آزمایش از دقت خوبی برخوردار است.

نمودار تغییرات جابجایی وسط تیر بر حسب بار اعمالی در شکل زیر آورده شده است:



شکل ۱۳: نمودار تغییرات جابجایی وسط تیر (δ) بر حسب بار اعمالی (P) در حالت بارگذاری در دو انتهای تیر مسی

با توجه به رابطه‌ی خیز تیر بر حسب بار اعمالی داریم:

$$a' = \frac{al^2}{8EI} \rightarrow E = \frac{al^2}{8a'I}$$

$$\rightarrow E = \frac{(374.45 \times 10^{-3}) \times (452 \times 10^{-3})^2}{8 \times (3.3636 \times 10^{-5}) \times (2307.42 \times 10^{-12})} = 1.2321 \times 10^{11} Pa = 123.2111 GPa$$

حال برای محاسبه‌ی میزان خطای مدول الاستیسیته می‌بایست ابتدا میزان خطای شیب خط رگرسیون را به دست آوریم:

$$\alpha^2 = \frac{[dd]}{N-2} = \frac{4.2457}{9-2} = 0.6065 (10^{-4} mm^2)$$

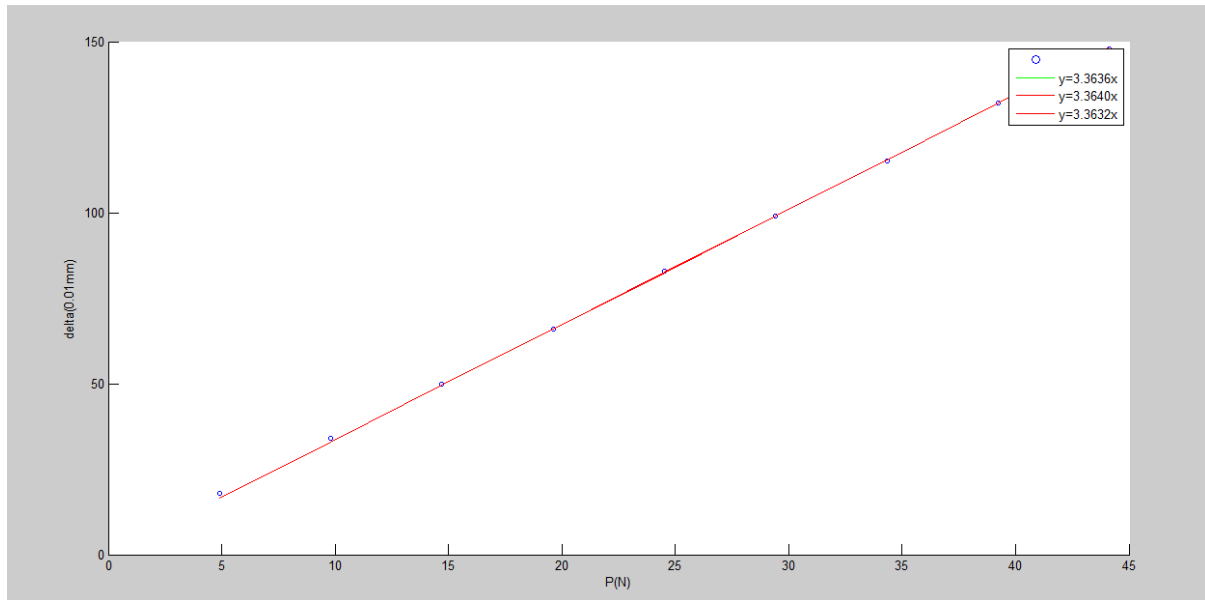
$$\Delta = \begin{vmatrix} [PP] & [P] \\ [P] & N \end{vmatrix} = \begin{vmatrix} 6856.8221 & 220.725 \\ 220.725 & 9 \end{vmatrix} = 12991.8733 (N^2)$$

$$\frac{\alpha_a^2}{N} = \frac{\alpha^2}{\Delta} \rightarrow \frac{\alpha_a^2}{9} = \frac{0.6065}{12991.8733} \rightarrow \alpha_a = 4.2015 \times 10^{-4} \frac{0.01mm}{N}$$

با به دست آمدن خطای شیب خط رگرسیون، می‌توان معادله‌ی خطوط اعتماد را به شکل زیر نوشت:

$$\delta = (3.3636 \pm 0.00042015)P$$

خطوط اعتماد در شکل زیر آورده شده‌اند:



شکل ۱۴: نمودار تغییرات جابجایی وسط تیر (δ) بر حسب بار اعمالی (P) در حالت بارگذاری در دو انتهای تیر مسی به همراه خطوط اعتماد

برای محاسبه میزان خطای مدول یانگ تیر، طبق فرمول موجود برای خیز وسط تیر داریم:

$$\delta = \frac{Pal^2}{8EI} \rightarrow a' = \frac{al^2}{8EI} \rightarrow E = \frac{al^2}{8a'I}$$

حال از دو طرف معادله دیفرانسیل لگاریتمی می‌گیریم:

$$\log(E) = \log(a) + 2\log(l) - \log(8) - \log(a') - \log(I)$$

$$\rightarrow \frac{dE}{E} = \frac{da}{a} + 2\frac{dl}{l} - \frac{da'}{a'} - \frac{dI}{I}$$

$$\frac{\Delta E}{E} = \frac{1}{a}\Delta a + \frac{2}{l}\Delta l + \frac{1}{a'}\Delta a' + \frac{1}{I}\Delta I$$

حال می‌بایست میزان خطای موجود برای هر یک از پارامترها را محاسبه کنیم:

$$\Delta a = \frac{1}{2}(2 \times 0.5 + 3 \times 0.01) = 0.515 \text{ mm}$$

$$\Delta l = \frac{1}{2} \text{ mm} = 0.5 \text{ mm}$$

$$\Delta a' = \alpha_a = 4.2015 \times 10^{-4} \frac{0.01 \text{ mm}}{N}$$

$$I = \frac{1}{12} ab^3 \rightarrow \log(I) = \log\left(\frac{1}{12}\right) + \log(a) + 3\log(b)$$

$$\rightarrow \frac{dI}{I} = \frac{da}{a} + 3\frac{db}{b} \rightarrow \frac{\Delta I}{I} = \frac{\Delta a}{a} + 3\frac{\Delta b}{b}$$

$$\Delta a = \Delta b = \frac{0.02}{2} \text{ mm} = 0.01 \text{ mm}$$

$$\frac{\Delta I}{I} = \frac{0.01}{29.60} + 3 \times \frac{0.01}{9.78} = 0.003405$$

$$\rightarrow \frac{\Delta E}{E} = \frac{1}{374.45} \times 0.515 + \frac{2}{452} \times 0.5 + \frac{1}{3.3636} \times 4.2015 \times 10^{-4} + 0.003405 = 0.007118$$

$$\rightarrow \Delta E = 0.8770 \text{ GPa}$$

بنابراین با توجه به مقدار خطای محاسبه شده می‌توان ضریب الاستیسیته تیر را پس از اعمال تصحیح ارقام به شکل زیر نوشت:

$$E = (123.2 \pm 0.9) \text{ GPa}$$

۴-۱-۲- بارگذاری بین دو تکیهگاه

در این قسمت از آزمایش بارگذاری به فاصله‌ی یک سوم از دو سرتکیه‌گاهها و مقدار خیز تیر در وسط آن به وسیله‌ی ساعت قرائت می‌شود. داده‌های حاصل از آزمایش در جدول زیر آورده شده است:

جدول ۴: داده‌های حاصل از آزمایش در حالت بارگذاری در بین دو تکیه‌گاه تیر مسی

m(kg)	δ(0.01mm)
۰/۵	۵
۱	۱۱
۱/۵	۱۷
۲	۲۲
۲/۵	۲۸
۳	۳۳
۳/۵	۳۹
۴	۴۵
۴/۵	۵۱

ابعاد سطح مقطع تیر که به وسیله‌ی کولیس اندازه‌گیری می‌شوند، عبارتند از (دقیق کولیس برابر ۰/۰۲mm است):

$$a = 29.60\text{mm}$$

$$b = 9.78\text{mm}$$

بنابراین با استفاده از اطلاعات ابعاد سطح مقطع تیر می‌توانیم، مقدار ممان اینترسی تیر (I) را از رابطه‌ی زیر محاسبه کنیم:

$$I = \frac{1}{12} ab^3 = \frac{1}{12} \times 29.60 \times 9.78^3 = 2307.42 \text{ mm}^4$$

طول تیر (L) به وسیله‌ی متر اندازه‌گیری می‌شود و عبارت است از (دقیق متر برابر ۱mm است):

$$L = 1238\text{mm}$$

از طرفی با توجه به تئوری مطرح شده می‌دانیم که میزان خیز تیر از رابطه‌ی زیر به دست می‌آید:

$$\delta = \frac{23Pl^3}{648EI}$$

بنابراین اگر نمودار میزان خیز تیر(δ) بر حسب بار اعمال شده (P) رسم شود می‌توان مقدار ضریب الاستیسیته (E) را از روی شبیه منحنی به دست آورد.

مقدار نیروی اعمالی (P) برابر نیروی وزن وزنه‌ها می‌باشد و با در نظر گرفتن شتاب جاذبه‌ی زمین (g) برابر 9.81m/s^2 از رابطه‌ی زیر محاسبه می‌شود:

$$P = mg$$

اطلاعات لازم برای محاسبه مدول الاستیسیته با استفاده از بارگذاری در دو انتهای تیر در جدول زیر آورده شده است:

جدول ۵: اطلاعات مورد نیاز برای محاسبات در حالت بارگذاری بین دو تکیه‌گاه تیر مسمی

m(kg)	P(N)	$\delta(0.01\text{mm})$	$PP(\text{N}^2)$	$P\delta(0.01\text{N.mm})$	$\delta^2(10^{-4}\text{mm}^2)$	$d(0.01\text{mm})$	$dd(10^{-4}\text{mm}^2)$
۰/۵	۴/۹۰۵	۵	۲۴/۰۵۹۰	۲۴/۵۲۵	۲۵	۰/۶۰۰۰	۰/۳۶۰۰
۱	۹/۸۱	۱۱	۹۶/۲۳۶۱	۱۰۷/۹۱	۱۲۱	۰/۲۰۰۱	۰/۰۴۰۰۴
۱/۵	۱۴/۷۱۵	۱۷	۲۱۶/۵۳۱۲	۲۵۰/۱۵۵	۲۸۹	-۰/۱۹۹۹	۰/۰۳۹۹۶
۲	۱۹/۶۲	۲۲	۳۸۴/۹۴۴۴	۴۳۱/۶۴	۴۸۴	۰/۴۰۰۲	۰/۱۶۰۲
۲/۵	۲۴/۵۲۵	۲۸	۶۰۱/۴۷۵۶	۶۸۶/۷	۷۸۴	۰/۰۰۰۱۹۲۵	۳/۷۰۵۶E ^{-۸}
۳	۲۹/۴۳	۳۳	۸۶۶/۱۲۴۹	۹۷۱/۱۹	۱۰۸۹	۰/۶۰۰۲	۰/۳۶۰۲
۳/۵	۳۴/۳۳۵	۳۹	۱۱۷۸/۸۹۲۲	۱۳۳۹/۰۶۵	۱۵۲۱	۰/۲۰۰۳	۰/۰۴۰۱۲
۴	۳۹/۲۴	۴۵	۱۵۳۹/۷۷۷۶	۱۷۶۵/۸	۲۰۲۵	-۰/۱۹۹۷	۰/۰۳۹۹۸
۴/۵	۴۴/۱۴۵	۵۱	۱۹۴۸/۷۸۱۰	۲۲۵۱/۳۹۵	۲۶۰۱	-۰/۵۹۹۷	۰/۰۳۵۹۶
مجموع	۲۲/۵	۲۲۰/۷۲۵	۲۵۱	۶۸۵۶/۸۲۲۱	۷۸۲۸/۳۸	۱۹۳۹	۱/۰۰۱۷
							۱/۴۰۰۱

مقدار شبیه خط رگرسیون برابرست با:

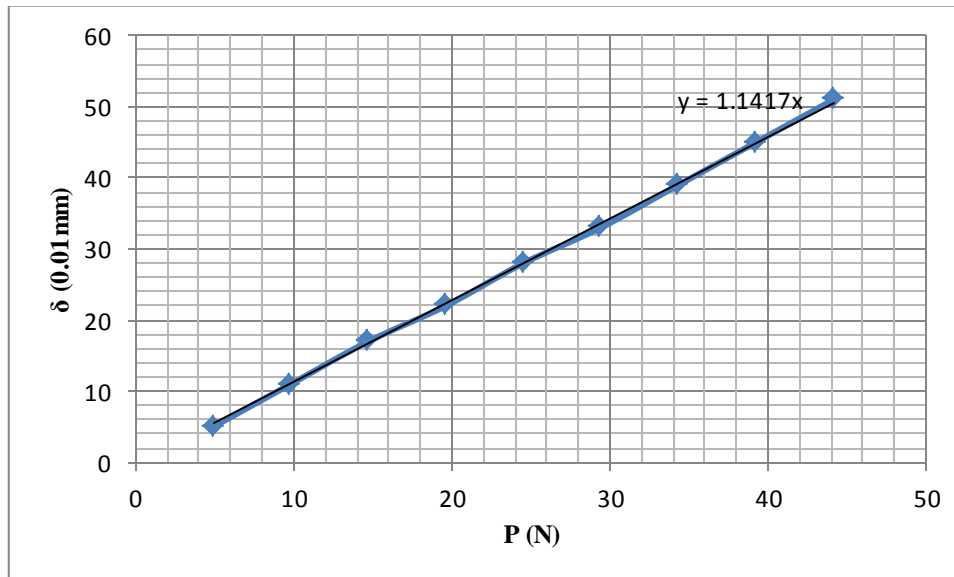
$$a = \frac{[P\delta]}{[PP]} = \frac{7828.38}{6856.8221} = 1.1417 \frac{0.01\text{mm}}{N}$$

و مقدار ضریب همبستگی (r^2) برابرست با:

$$r^2 = \frac{[P\delta]^2}{[PP][\delta\delta]} = \frac{7828.38^2}{6856.8221 \times 8939} = 0.9998$$

نzedیک بودن مقدار ضریب همبستگی به ۱ نشانگر این است که آزمایش از دقت خوبی برخوردار است.

نمودار تغییرات جابجایی وسط تیر بر حسب بار اعمالی در شکل زیر آورده شده است:



شکل ۱۵: نمودار تغییرات جابجایی وسط تیر (δ) بر حسب بار اعمالی (P) در حالت بارگذاری بین دو تکیه‌گاه تیر مسمی

با توجه به رابطه‌ی خیز تیر بر حسب بار اعمالی داریم:

$$a = \frac{23l^3}{648EI} \rightarrow E = \frac{23l^3}{648al}$$

$$\rightarrow E = \frac{23 \times (452 \times 10^{-3})^3}{648 \times (1.1417 \times 10^{-5}) \times (2307.42 \times 10^{-12})} = 1.2442 \times 10^{11} Pa = 124.4198 GPa$$

حال برای محاسبه میزان خطای مدول الاستیسیته می‌بایست ابتدا میزان خطای شیب خط رگرسیون را به دست آوریم:

$$\alpha^2 = \frac{[dd]}{N-2} = \frac{1.4001}{9-2} = 0.2000 (10^{-4} mm^2)$$

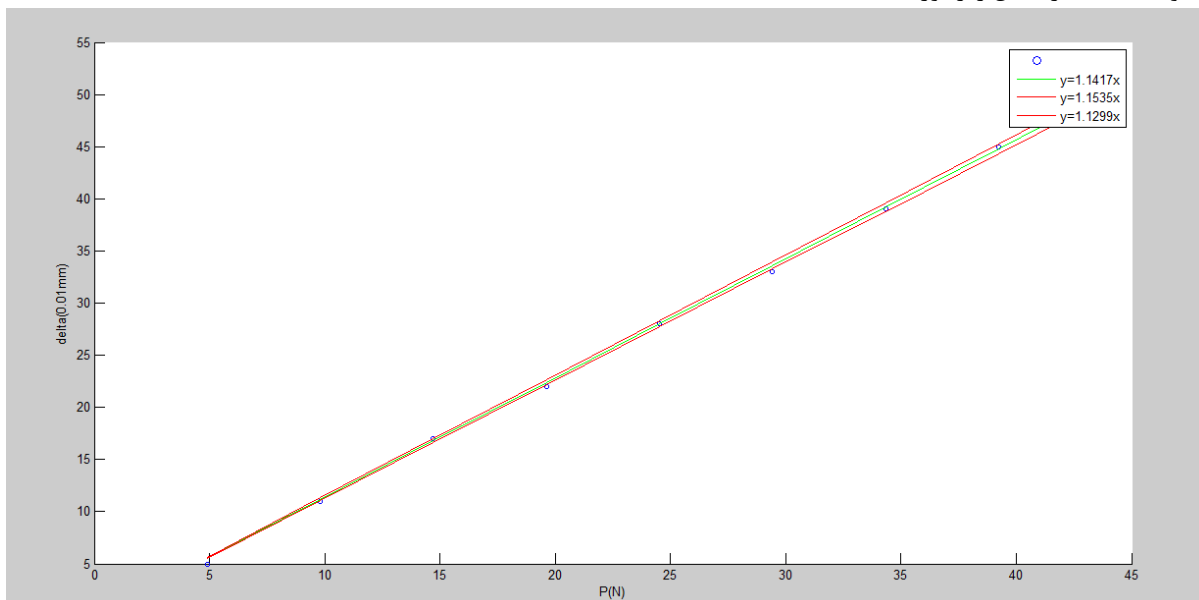
$$\Delta = \begin{vmatrix} [PP] & [P] \\ [P] & N \end{vmatrix} = \begin{vmatrix} 6856.8221 & 220.725 \\ 220.725 & 9 \end{vmatrix} = 12991.8733 (N^2)$$

$$\frac{\alpha_a^2}{N} = \frac{\alpha^2}{\Delta} \rightarrow \frac{\alpha_a^2}{9} = \frac{0.2000}{12991.8733} \rightarrow \alpha_a = 0.01177 \frac{0.01mm}{N}$$

با به دست آمدن خطای شیب خط رگرسیون، می‌توان معادله خطوط اعتماد را به شکل زیر نوشت:

$$\delta = (1.1417 \pm 0.01177)P$$

خطوط اعتماد در شکل زیر آورده شده‌اند:



شکل ۱۶: نمودار تغییرات جابجایی وسط تیر (δ) بر حسب بار اعمالی (P) در حالت بارگذاری بین دو تکیه گاه تیر مسی به همراه خطوط اعتماد

برای محاسبه میزان خطای مدول یانگ تیر، طبق فرمول موجود برای خیز وسط تیر داریم:

$$\delta = \frac{23Pl^3}{648EI} \rightarrow a = \frac{23l^3}{648EI} \rightarrow E = \frac{23l^3}{648al}$$

حال از دو طرف معادله دیفرانسیل لگاریتمی می‌گیریم:

$$\log(E) = \log(23) + 3 \log(l) - \log(648) - \log(a) - \log(I)$$

$$\rightarrow \frac{dE}{E} = 3 \frac{dl}{l} - \frac{da}{a} - \frac{dI}{I}$$

$$\frac{\Delta E}{E} = \frac{3}{l} \Delta l + \frac{1}{a} \Delta a + \frac{1}{I} \Delta I$$

حال می‌بایست میزان خطای موجود برای هر یک از پارامترها را محاسبه کنیم:

$$\Delta l = \frac{1}{2} mm = 0.5 mm$$

$$\Delta a = \alpha_a = 0.01177 \frac{0.01 mm}{N}$$

$$I = \frac{1}{12} ab^3 \rightarrow \log(I) = \log\left(\frac{1}{12}\right) + \log(a) + 3 \log(b)$$

$$\rightarrow \frac{dI}{I} = \frac{da}{a} + 3 \frac{db}{b} \rightarrow \frac{\Delta I}{I} = \frac{\Delta a}{a} + 3 \frac{\Delta b}{b}$$

$$\Delta a = \Delta b = \frac{0.02}{2} mm = 0.01 mm$$

$$\frac{\Delta I}{I} = \frac{0.01}{29.60} + 3 \times \frac{0.01}{9.78} = 0.003405$$

$$\rightarrow \frac{\Delta E}{E} = \frac{3}{452} \times 0.5 + \frac{1}{1.1417} \times 0.01177 + 0.003405 = 0.01703$$

$$\rightarrow \Delta E = 2.1192 GPa$$

بنابراین با توجه به مقدار خطای محاسبه شده می‌توان ضریب الاستیسیتی تیر را پس از اعمال تصحیح ارقام به شکل زیر نوشت:

$$E = (124 \pm 3) GPa$$

۳-۱-۴- تحقیق اصل دوطرفه‌ی ماکسول

برای به دست آوردن جابجایی ناشی از بارگذاری در این آزمایش نیازمند در درست داشتن مدول الاستیسیتی تیر هستیم که می‌توان آن را با استفاده از میانگین‌گیری از نتایج حاصل از دو آزمایش قبل به دست آورد، یعنی:

$$E = \frac{E_1 + E_2}{2} = \frac{123.2111 + 124.4198}{2} = 123.8155 GPa$$

نتایج حاصل از این آزمایش در جدول زیر آورده شده است:

جدول ۶: نتایج حاصل از آزمایش تحقیق اصل دوطرفه‌ی ماکسول برای تیر مسی

m(kg)	P(N)	$\delta_{12}(0.01mm)$ از ۱۲۰mm در یک تکیه‌گاه	$\delta_{21}(0.01mm)$ در وسط تیر	$\delta_{12}(0.01mm)$ در ۱۲۰mm از یک تکیه‌گاه (تئوری)	$\delta_{21}(0.01mm)$ در وسط تیر (تئوری)	درصد خطای آزمایش برای δ_{12}	درصد خطای آزمایش برای δ_{21}
۰/۵	۴/۹۰۵	۲	۲	۲/۰۸۵۳	۲/۰۸۵۳	۴/۰۹۰۵	۴/۰۹۰۵
۱	۹/۸۱	۵	۴	۴/۱۷۰۵	۴/۱۷۰۵	۱۹/۸۶۱۰	۴/۰۸۸۲
۱/۵	۱۴/۷۱۵	۷	۶	۶/۲۵۵۹	۶/۲۵۵۹	۱۱/۸۹۴۴	۴/۰۹۰۵
۲	۱۹/۶۲	۹	۹	۸/۳۴۱۲	۸/۳۴۱۲	۷/۸۹۸۱	۷/۸۹۸۱
۲/۵	۲۴/۵۲۵	۱۲	۱۱	۱۰/۴۲۶۵	۱۰/۴۲۶۵	۱۵/۰۹۱۴	۵/۰۰۰۴
۳	۲۹/۴۳	۱۴	۱۴	۱۲/۵۱۱۸	۱۲/۵۱۱۸	۱۱/۸۹۴۴	۱۱/۸۹۴۴
۳/۵	۳۴/۳۳۵	۱۶	۱۶	۱۴/۵۹۷۱	۱۴/۵۹۷۱	۹/۶۱۰۸	۹/۶۱۰۸
۴	۳۹/۲۴	۱۹	۱۸	۱۶/۶۸۲۴	۱۶/۶۸۲۴	۱۳/۸۹۲۴	۷/۸۹۸۱
۴/۵	۴۴/۱۴۵	۲۱	۲۱	۱۸/۷۶۷۷	۱۸/۷۶۷۷	۱۱/۸۹۴۴	۱۱/۸۹۴۴

۴-۲-۴- تیر فولادی

۴-۲-۱- بارگذاری در دو انتهای تیر

در این قسمت از آزمایش بارگذاری در دو انتهای تیر انجام شده و مقدار خیز تیر در وسط آن به وسیله‌ی ساعت قرائت می‌شوند. داده‌های حاصل از آزمایش در جدول زیر آورده شده است:

جدول ۷: داده‌های حاصل از آزمایش در حالت بارگذاری در دو انتهای تیر فولادی

m(kg)	$\delta(0.01\text{mm})$
۰/۲	۵۵
۰/۴	۱۰۸
۰/۶	۱۶۱
۰/۸	۲۱۵
۱	۲۶۸
۱/۲	۳۲۲

ابعاد سطح مقطع تیر که به وسیله‌ی کولیس اندازه‌گیری می‌شوند، عبارتند از (دقیق کولیس برابر 20 mm است):

$$a = 24.92\text{mm}$$

$$b = 4.88\text{mm}$$

بنابراین با استفاده از اطلاعات ابعاد سطح مقطع تیر می‌توانیم، مقدار ممان اینرسی تیر (I) را از رابطه‌ی زیر محاسبه کنیم:

$$I = \frac{1}{12} ab^3 = \frac{1}{12} \times 24.92 \times 4.88^3 = 241.34 \text{ mm}^4$$

طول تیر (L) به وسیله‌ی متر اندازه‌گیری می‌شود و عبارت است از (دقیق متر برابر 1 mm است):

$$L = 1704\text{mm}$$

فاصله‌ی تکیه‌گاه تا محل بارگذاری (a) برابر است با:

$$a = \frac{1}{2}(1704 - 2 \times 12.40 - 12.30 - 452) = 607.45\text{mm}$$

از طرفی با توجه به تئوری مطرح شده می‌دانیم که میزان خیز تیر از رابطه‌ی زیر به دست می‌آید:

$$\delta = \frac{Pal^2}{8EI}$$

بنابراین اگر نمودار میزان خیز تیر (δ) بر حسب بار اعمال شده (P) رسم شود می‌توان مقدار ضریب الاستیسیته (E) را از روی شبیه منحنی به دست آورد.

مقدار نیروی اعمالی (P) برابر نیروی وزن وزنه‌ها می‌باشد و با در نظر گرفتن شتاب جاذبه‌ی زمین (g) برابر 9.81m/s^2 از رابطه‌ی زیر محاسبه می‌شود:

$$P = mg$$

اطلاعات لازم برای محاسبه‌ی مدول الاستیسیته با استفاده از بارگذاری در دو انتهای تیر در جدول زیر آورده شده است:

جدول ۸: اطلاعات مورد نیاز برای محاسبات در حالت بارگذاری در دو انتهای تیر فولادی

	m(kg)	P(N)	$\delta(0.01\text{mm})$	PP(N^2)	$P\delta$ (0.01N.mm)	δ^2 (10^{-4}mm^2)	d(0.01mm)	dd (10^{-4}mm^2)
۰/۲	۱/۹۶۲	۵۵	۳/۸۴۹۴	۱۰۷/۹۱	۳۰۲۵	-۱/۳۰۷۷	۱/۷۱۰۱	
۰/۴	۳/۹۲۴	۱۰۸	۱۵/۳۹۷۸	۴۲۳/۷۹۲	۱۱۶۶۴	-۰/۶۱۵۴	۰/۳۷۸۷	
۰/۶	۵/۸۸۶	۱۶۱	۳۴/۶۴۵۰	۹۴۷/۶۴۶	۲۵۹۲۱	۰/۰۷۶۸۶	۰/۰۰۵۹۰۷	
۰/۸	۷/۸۴۸	۲۱۵	۶۱/۵۹۱۱	۱۶۸۷/۳۲	۴۶۲۲۵	-۰/۲۳۰۸	۰/۰۵۳۲۷	
۱	۹/۸۱	۲۶۸	۹۶/۲۳۶۱	۲۶۲۹/۰۸	۷۱۸۲۴	۰/۴۶۱۴	۰/۲۱۲۹	
۱/۲	۱۱/۷۷۲	۳۲۲	۱۳۸/۵۸۰۰	۳۷۹۰/۵۸۴	۱۰۳۶۸۴	۰/۱۵۳۷	۰/۰۲۳۶۲	
مجموع	۴/۲	۴۱/۲۰۲	۱۱۲۹	۳۵۰/۲۹۹۴	۹۵۸۶/۳۳۲	۲۶۲۳۴۳	-۱/۴۶۱۹	۲/۳۸۴۵

مقدار شیب خط رگرسیون برابرست با:

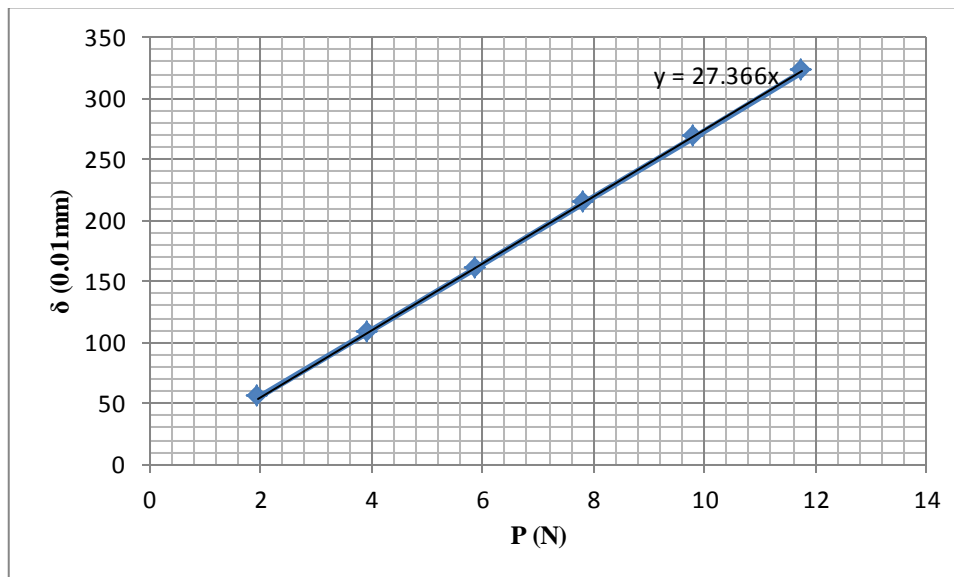
$$a' = \frac{[P\delta]}{[PP]} = \frac{9586.332}{350.2994} = 27.3661 \frac{0.01mm}{N}$$

و مقدار ضریب همبستگی (r^2) برابرست با:

$$r^2 = \frac{[P\delta]^2}{[PP][\delta\delta]} = \frac{9586.332^2}{350.2994 \times 262343} \approx 1$$

نزدیک بودن مقدار ضریب همبستگی به 1 نشانگر این است که آزمایش از دقت خوبی برخوردار است.

نمودار تغییرات جابجایی وسط تیر بر حسب بار اعمالی در شکل زیر آورده شده است:



شکل ۱۷: نمودار تغییرات جابجایی وسط تیر (δ) بر حسب بار اعمالی (P) در حالت بارگذاری در دو انتهای تیر فولادی با توجه به رابطه خیز تیر بر حسب بار اعمالی داریم:

$$a' = \frac{al^2}{8EI} \rightarrow E = \frac{al^2}{8a'I}$$

$$\rightarrow E = \frac{(607.45 \times 10^{-3}) \times (452 \times 10^{-3})^2}{8 \times (27.3661 \times 10^{-5}) \times (241.34 \times 10^{-12})} = 2.3488 \times 10^{11} Pa = 234.8850 Gpa$$

حال برای محاسبه میزان خطای مدول الاستیسیته می‌بایست ابتدا میزان خطای شیب خط رگرسیون را به دست آوریم:

$$\alpha^2 = \frac{[dd]}{N-2} = \frac{2.3845}{6-2} = 0.5961 (10^{-4} mm^2)$$

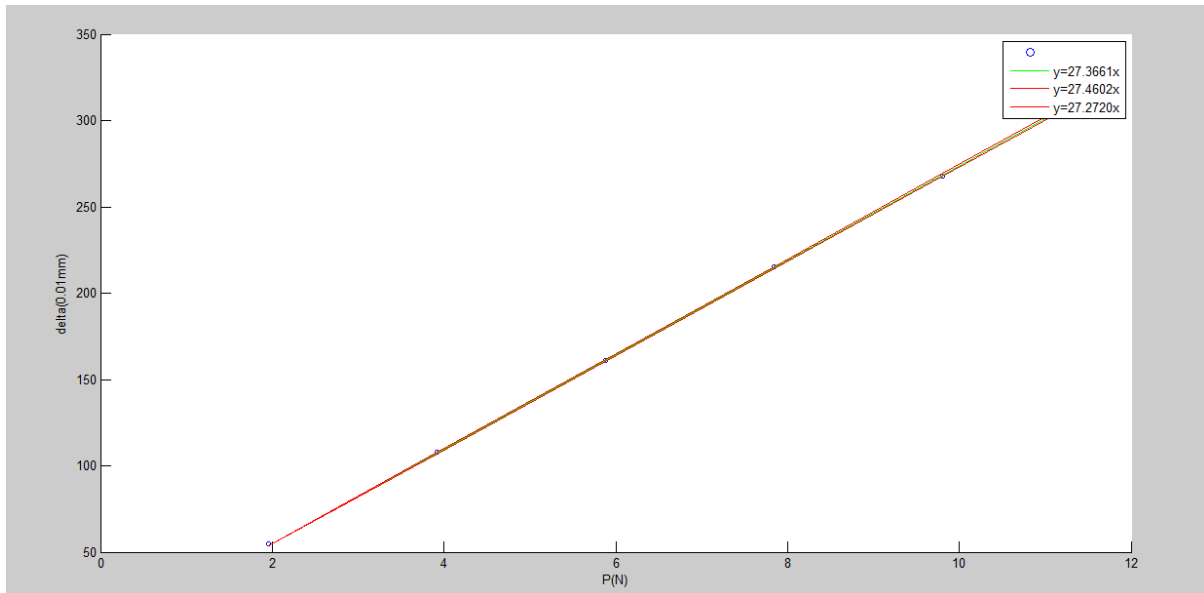
$$\Delta = \begin{vmatrix} [PP] & [P] \\ [P] & N \end{vmatrix} = \begin{vmatrix} 350.2994 & 41.202 \\ 41.202 & 6 \end{vmatrix} = 404.1916 (N^2)$$

$$\frac{\alpha_a^2}{N} = \frac{\alpha^2}{\Delta} \rightarrow \frac{\alpha_a^2}{6} = \frac{0.5961}{404.1916} \rightarrow \alpha_a = 0.09407 \frac{0.01mm}{N}$$

با به دست آمدن خطای شیب خط رگرسیون، می‌توان معادله خطوط اعتماد را به شکل زیر نوشت:

$$\delta = (27.3661 \pm 0.09407)P$$

خطوط اعتماد در شکل زیر آورده شده‌اند:



شکل ۱۸: نمودار تغییرات جابجایی وسط تیر (δ) بر حسب بار اعمالی (P) در حالت بارگذاری در دو انتهای تیر فولادی به همراه خطوط اعتماد برای محاسبه میزان خطای مدول یانگ تیر، طبق فرمول موجود برای خیز وسط تیر داریم:

$$\delta = \frac{Pal^2}{8EI} \rightarrow a' = \frac{al^2}{8EI} \rightarrow E = \frac{al^2}{8a'I}$$

حال از دو طرف معادله دیفرانسیل لگاریتمی می‌گیریم:

$$\log(E) = \log(a) + 2 \log(l) - \log(8) - \log(a') - \log(I)$$

$$\rightarrow \frac{dE}{E} = \frac{da}{a} + 2 \frac{dl}{l} - \frac{da'}{a'} - \frac{dI}{I}$$

$$\frac{\Delta E}{E} = \frac{1}{a} \Delta a + \frac{2}{l} \Delta l + \frac{1}{a'} \Delta a' + \frac{1}{I} \Delta I$$

حال می‌بایست میزان خطای موجود برای هر یک از پارامترها را محاسبه کنیم:

$$\Delta a = \frac{1}{2} (2 \times 0.5 + 3 \times 0.01) = 0.515 \text{ mm}$$

$$\Delta l = \frac{1}{2} \text{ mm} = 0.5 \text{ mm}$$

$$\Delta a' = \alpha_a = 0.09407 \frac{0.01 \text{ mm}}{N}$$

$$I = \frac{1}{12} ab^3 \rightarrow \log(I) = \log\left(\frac{1}{12}\right) + \log(a) + 3 \log(b)$$

$$\rightarrow \frac{dI}{I} = \frac{da}{a} + 3 \frac{db}{b} \rightarrow \frac{\Delta I}{I} = \frac{\Delta a}{a} + 3 \frac{\Delta b}{b}$$

$$\Delta a = \Delta b = \frac{0.02}{2} \text{ mm} = 0.01 \text{ mm}$$

$$\frac{\Delta I}{I} = \frac{0.01}{24.92} + 3 \times \frac{0.01}{4.88} = 0.006549$$

$$\rightarrow \frac{\Delta E}{E} = \frac{1}{607.45} \times 0.515 + \frac{2}{452} \times 0.5 + \frac{1}{27.3661} \times 0.09407 + 0.006549 = 0.01305$$

$$\rightarrow \Delta E = 3.0645 \text{ Gpa}$$

بنابراین با توجه به مقدار خطای محاسبه شده می‌توان ضریب الاستیسیته‌ی تیر را پس از اعمال تصحیح ارقام به شکل زیر نوشت:

$$E = (235 \pm 4) \text{ GPa}$$

۴-۲-۲-۲- بارگذاری بین دو تکیه‌گاه

در این قسمت از آزمایش بارگذاری به فاصله‌ی یک سوم از دو سر تکیه‌گاه‌ها انجام شده و مقدار خیز تیر در وسط آن به وسیله‌ی ساعت قراءت می‌شود. داده‌های حاصل از آزمایش در جدول زیر آورده شده است:

جدول ۹: داده‌های حاصل از آزمایش در حالت بارگذاری در بین دو تکیه‌گاه تیر فولادی

m(kg)	$\delta(0.01\text{mm})$
۰/۲	۱۱
۰/۴	۲۲
۰/۶	۳۳
۰/۸	۴۴
۱	۵۶
۱/۲	۶۷

ابعاد سطح مقطع تیر که به وسیله‌ی کولیس اندازه‌گیری می‌شوند، عبارتند از (دقیق کولیس برابر ۰.۰۲mm است):

$$a = 24.92\text{mm}$$

$$b = 4.88\text{mm}$$

بنابراین با استفاده از اطلاعات ابعاد سطح مقطع تیر می‌توانیم، مقدار ممان اینرسی تیر (I) را از رابطه‌ی زیر محاسبه کنیم:

$$I = \frac{1}{12} ab^3 = \frac{1}{12} \times 24.92 \times 4.88^3 = 241.34\text{ mm}^4$$

طول تیر (L) به وسیله‌ی متر اندازه‌گیری می‌شود و عبارت است از (دقیق متر برابر ۱mm است):

$$L = 1704\text{mm}$$

از طرفی با توجه به تئوری مطرح شده می‌دانیم که میزان خیز تیر از رابطه‌ی زیر به دست می‌آید:

$$\delta = \frac{23Pl^3}{648EI}$$

بنابراین اگر نمودار میزان خیز تیر (δ) بر حسب بار اعمال شده (P) رسم شود می‌توان مقدار ضریب الاستیسیته (E) را از روی شب منحنی به دست آورد.

مقدار نیروی اعمالی (P) برابر نیروی وزن وزنهای می‌باشد و با در نظر گرفتن شتاب جاذبه‌ی زمین (g) برابر 9.81m/s^2 از رابطه‌ی زیر محاسبه می‌شود:

$$P = mg$$

اطلاعات لازم برای محاسبه‌ی مدول الاستیسیته با استفاده از بارگذاری در دو انتهای تیر در جدول زیر آورده شده است:

جدول ۱۰: اطلاعات مورد نیاز برای محاسبات در حالت بارگذاری بین دو تکیه‌گاه تیر فولادی

m(kg)	P(N)	$\delta(0.01\text{mm})$	PP(N^2)	$P\delta(0.01\text{N.mm})$	$\delta^2(10^{-4}\text{mm}^2)$	d(0.01mm)	$dd(10^{-4}\text{mm}^2)$
۰/۲	۱/۹۶۲	۱۱	۳/۸۴۹۴	۲۱/۵۸۲	۱۲۱	۰/۱۲۰۸	۰/۰۱۴۵۹
۰/۴	۳/۹۲۴	۲۲	۱۵/۳۹۷۸	۸۶/۳۲۸	۴۸۴	۰/۲۴۱۶	۰/۰۵۸۳۷
۰/۶	۵/۸۸۶	۳۳	۳۴/۶۴۵۰	۱۹۴/۲۳۸	۱۰۸۹	۰/۳۶۲۴	۰/۱۳۱۳
۰/۸	۷/۸۴۸	۴۴	۶۱/۵۹۱۱	۳۴۵/۳۱۲	۱۹۳۶	۰/۴۸۳۲	۰/۲۳۳۵
۱	۹/۸۱	۵۶	۹۶/۲۳۶۱	۵۴۹/۳۶	۳۱۳۶	-۰/۳۹۵۹	۰/۱۵۶۷
۱/۲	۱۱/۷۷۲	۶۷	۱۳۸/۵۸۰۰	۷۸۸/۷۲۴	۴۴۸۹	-۰/۲۷۵۱	۰/۰۷۵۶۸
مجموع	۲۲/۵	۲۲۰/۷۲۵	۲۳۳	۳۵۰/۲۹۹۴	۱۹۸۵/۵۴۴	۱۱۲۵۵	۰/۵۳۷

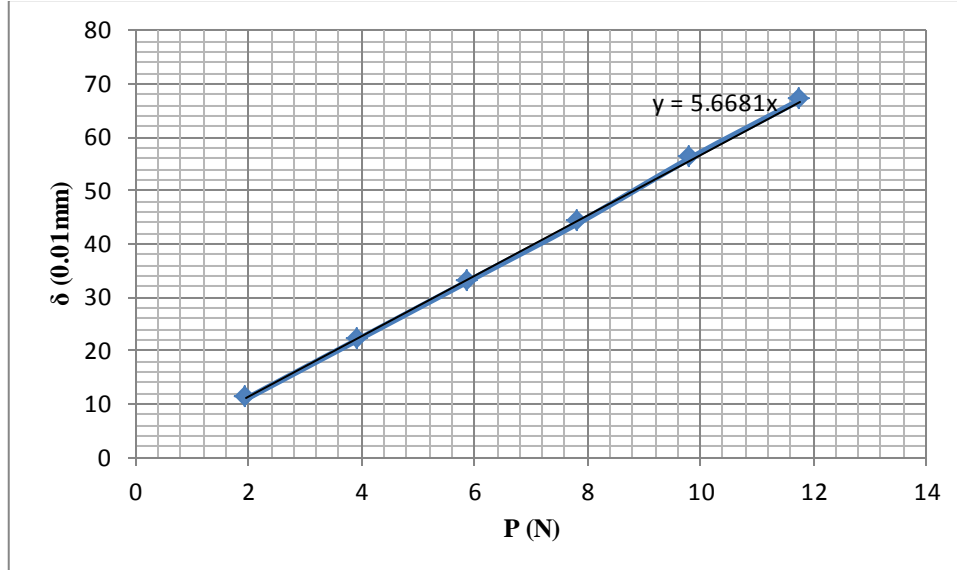
مقدار شب خط رگرسیون برابر است با:

$$a = \frac{[P\delta]}{[PP]} = \frac{1985.544}{350.2994} = 5.6681 \frac{0.01\text{mm}}{N}$$

و مقدار ضریب همبستگی (r^2) برابرست با:

$$r^2 = \frac{[P\delta]^2}{[PP][\delta\delta]} = \frac{1985.544^2}{350.2994 \times 11255} = 0.9999$$

نzedیک بودن مقدار ضریب همبستگی به ۱ نشانگر این است که آزمایش از دقت خوبی برخوردار است.
نمودار تغییرات جابجایی وسط تیر بر حسب بار اعمالی در شکل زیر آورده شده است:



شکل ۱۹: نمودار تغییرات جابجایی وسط تیر (δ) بر حسب بار اعمالی (P) در حالت بارگذاری بین دو تکیه گاه تیر فولادی

با توجه به رابطه‌ی خیز تیر بر حسب بار اعمالی داریم:

$$a = \frac{23l^3}{648EI} \rightarrow E = \frac{23l^3}{648aI}$$

$$\rightarrow E = \frac{23 \times (452 \times 10^{-3})^3}{648 \times (5.6681 \times 10^{-5}) \times (241.34 \times 10^{-12})} = 2.3961 \times 10^{11} Pa = 239.6080 Gpa$$

حال برای محاسبه‌ی میزان خطای مدول الاستیسیته می‌بایست ابتدا میزان خطای شبیه خط رگرسیون را به دست آوریم:

$$\alpha^2 = \frac{[dd]}{N-2} = \frac{0.6701}{6-2} = 0.1675 (10^{-4} mm^2)$$

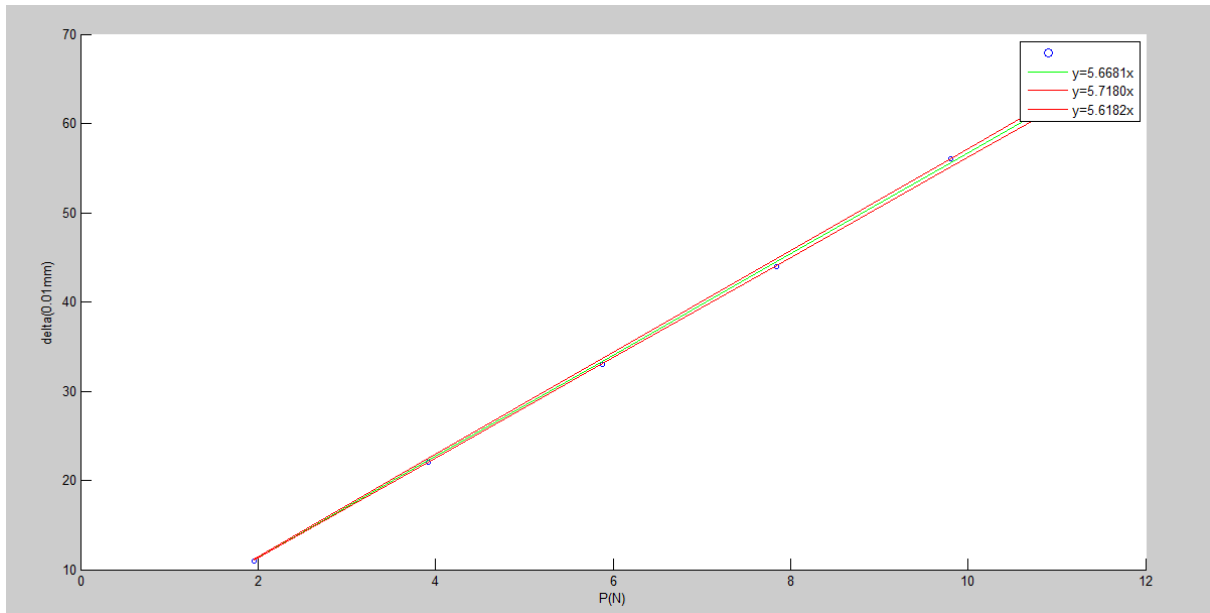
$$\Delta = \begin{vmatrix} [PP] & [P] \\ [P] & N \end{vmatrix} = \begin{vmatrix} 350.2994 & 41.202 \\ 41.202 & 6 \end{vmatrix} = 404.1916 (N^2)$$

$$\frac{\alpha_a^2}{N} = \frac{\alpha^2}{\Delta} \rightarrow \frac{\alpha_a^2}{6} = \frac{0.1675}{404.1916} \rightarrow \alpha_a = 0.04986 \frac{0.01mm}{N}$$

با به دست آمدن خطای شبیه خط رگرسیون، می‌توان معادله‌ی خطوط اعتماد را به شکل زیر نوشت:

$$\delta = (5.6681 \pm 0.04986)P$$

خطوط اعتماد در شکل زیر آورده شده‌اند:



شکل ۲۰: نمودار تغییرات جابجایی وسط تیر (δ) بر حسب بار اعمالی (P) در حالت بارگذاری بین دو تکیه گاه تیر فولادی به همراه خطوط اعتماد برای محاسبه میزان خطای مدول یانگ تیر، طبق فرمول موجود برای خیز وسط تیر داریم:

$$\delta = \frac{23Pl^3}{648EI} \rightarrow a = \frac{23l^3}{648EI} \rightarrow E = \frac{23l^3}{648al}$$

حال از دو طرف معادله دیفرانسیل لگاریتمی می‌گیریم:

$$\log(E) = \log(23) + 3\log(l) - \log(648) - \log(a) - \log(I)$$

$$\rightarrow \frac{dE}{E} = 3\frac{dl}{l} - \frac{da}{a} - \frac{dI}{I}$$

$$\frac{\Delta E}{E} = \frac{3}{l}\Delta l + \frac{1}{a}\Delta a + \frac{1}{I}\Delta I$$

حال می‌بایست میزان خطای موجود برای هر یک از پارامترها را محاسبه کنیم:

$$\Delta l = \frac{1}{2} mm = 0.5 mm$$

$$\Delta a = \alpha_a = 0.04986 \frac{0.01 mm}{N}$$

$$I = \frac{1}{12} ab^3 \rightarrow \log(I) = \log\left(\frac{1}{12}\right) + \log(a) + 3\log(b)$$

$$\rightarrow \frac{dI}{I} = \frac{da}{a} + 3\frac{db}{b} \rightarrow \frac{\Delta I}{I} = \frac{\Delta a}{a} + 3\frac{\Delta b}{b}$$

$$\Delta a = \Delta b = \frac{0.02}{2} mm = 0.01 mm$$

$$\frac{\Delta I}{I} = \frac{0.01}{24.92} + 3 \times \frac{0.01}{4.88} = 0.006549$$

$$\rightarrow \frac{\Delta E}{E} = \frac{3}{452} \times 0.5 + \frac{1}{5.6681} \times 0.04986 + 0.006549 = 0.01866$$

$$\rightarrow \Delta E = 4.4721 GPa$$

بنابراین با توجه به مقدار خطای محاسبه شده می‌توان ضریب الاستیسیته تیر را پس از اعمال تصحیح ارقام به شکل زیر نوشت:

$$E = (240 \pm 5) GPa$$

۴-۲-۳- تحقیق اصل دوطرفه‌ی ماکسول

برای به دست آوردن جابجایی ناشی از بارگذاری در این آزمایش نیازمند در درست داشتن مدول الاستیسیته‌ی تیر هستیم که می‌توان آن را با استفاده از میانگین‌گیری از نتایج حاصل از دو آزمایش قبل به دست آورد، یعنی:

$$E = \frac{E_1 + E_2}{2} = \frac{234.8850 + 239.6080}{2} = 237.2465 GPa$$

نتایج حاصل از این آزمایش در جدول زیر آورده شده است:

جدول ۱۱: نتایج حاصل از آزمایش تحقیق اصل دوطرفه‌ی ماکسول برای تیر فولادی

m(kg)	P(N)	$\delta_{12}(0.01\text{mm})$ در ۱۲۰mm یک تکیه‌گاه	$\delta_{21}(0.01\text{mm})$ در وسط تیر	$\delta_{12}(0.01\text{mm})$ در ۱۲۰mm یک تکیه‌گاه (تئوری)	$\delta_{21}(0.01\text{mm})$ در وسط تیر (تئوری)	درصد خطای آزمایش δ_{12}	درصد خطای آزمایش δ_{21}
۰/۲	۴/۹۰۵	۵	۵	۴/۳۷۵۷	۴/۳۷۵۷	۱۴/۲۶۷۴	۱۴/۲۶۷۴
۰/۴	۹/۸۱	۹	۱۰	۸/۷۵۱۴	۸/۷۵۱۴	۲/۸۴۰۷	۱۴/۲۶۷۴
۰/۶	۱۴/۷۱۵	۱۴	۱۵	۱۳/۱۲۷۱	۱۳/۱۲۷۱	۶/۶۴۹۶	۱۴/۲۶۷۴
۰/۸	۱۹/۶۲	۱۹	۱۹	۱۷/۵۰۲۸	۱۷/۵۰۲۸	۸/۵۵۴۱	۸/۵۵۴۱
۱	۲۴/۵۲۵	۲۴	۲۴	۲۱/۸۷۸۵	۲۱/۸۷۸۵	۹/۶۹۶۷	۹/۶۹۶۷
۱/۲	۲۹/۴۳	۲۹	۲۹	۲۶/۲۵۴۳	۲۶/۲۵۴۳	۱۰/۴۵۸۱	۱۰/۴۵۸۱

۵- بحث و بررسی نتایج آزمایش

در این آزمایش هدف بررسی تغییر مکان تیرهای مستقیم تحت اثر بار اعمال شده به آن‌ها می‌باشد، همان‌گونه که از روابط تئوری می‌دانیم تغییرات تغییر مکان تیر بحسب نیروی اعمالی به صورت خطی است که می‌توان صحت این موضوع را با استفاده از آزمایش تحقیق کرد؛ ضمناً با استفاده از این آزمایش می‌توان به تحقیق روابط کلاسیک خیز تیر با توجه به شکل سطح مقطع پرداخت؛ همچنین با استفاده از روابط مربوط به خط رگرسیون و فرمول‌های مربوط به خیز تیرهای مستقیم، می‌توانیم مقدار مدول الاستیسیته‌ی هر تیر را به دو روش محاسبه و آن‌ها را با یکدیگر و با مقادیر درج شده در مراجع معتر مقایسه کنیم. در ادامه‌ی این بخش توضیحاتی در این زمینه ارائه خواهد شد و در مورد علل اختلاف نتایج به دست آمده از آزمایش با نتایج مورد انتظار از روابط تئوری موجود بحث می‌شود.

همان‌طور که در بخش نتایج آزمایش محاسبه شد، میان خیز تیر (δ) و نیروی اعمالی (P) با دقت خوبی همبستگی خطی وجود دارد (نzedیک بودن ضریب همبستگی (r^2) به یک مؤید این موضوع است)، همچنین از روابط مربوط به خیز تیر که در بخش تئوری آورده شده است ملاحظه می‌شود که میان خیز تیر و نیروی اعمالی رابطه‌ای خطی وجود دارد بنابراین نتایج حاصل از آزمایش با نتایج مورد انتظار از روابط تئوری مطابقت دارند. میزان ضریب همبستگی محاسبه شده براساس جابجایی‌های نقطه‌ی میانی هر یک از دو تیر مسی و فولادی در دو حالت بارگذاری مورد آزمایش در جداول زیر آورده شده است:

جدول ۱۲: ضرایب همبستگی (r^2) محاسبه شده برای تیر مسی

ضریب همبستگی محاسبه شده هنگام بارگذاری در فاصله‌ی انتهای تیر	ضریب همبستگی محاسبه شده هنگام بارگذاری در فاصله‌ی یک سوم از دو سرتکیه‌گاه‌ها
۰/۹۹۹۹	۰/۹۹۹۸

جدول ۱۳: ضرایب همبستگی (r^2) محاسبه شده برای تیر فولادی

ضریب همبستگی محاسبه شده هنگام بارگذاری در دو انتهای تیر	ضریب همبستگی محاسبه شده هنگام بارگذاری در فاصله‌ی یک سوم از دو سرتکیه‌گاه‌ها
۱	۰/۹۹۹

کار دیگری که در بخش نتایج آزمایش انجام شد محاسبه‌ی مدول الاستیسیته (E) برای هر دو تیر مسی و فولادی با استفاده از روابط تئوری موجود برای خیز تیر بود که با استفاده از شبیب به دست آمده از روابط رگرسیون و برابر قراردادن این شبیب با شبیب منحنی تغییرات خیز بر حسب بار اعمالی محاسبه می‌شود. میزان مدول الاستیسیته‌ی محاسبه شده برای هر دو تیر در جداول زیر آورده شده است:

جدول ۱۴: نتایج به دست آمده برای مدول الاستیسیته‌ی تیر مسی هنگام بارگذاری در دو انتهای تیر

E(GPa)	ΔE (GPa)	محدوده‌ی به دست آمده برای مدول الاستیسیته پس از تصحیح ارقام (GPa)
۱۲۳/۲۱۱۱	۰/۸۷۷۰	۱۲۳/۲±۰/۹

جدول ۱۵: نتایج به دست آمده برای مدول الاستیسیته‌ی تیر مسی هنگام بارگذاری در فاصله‌ی یک سوم از دو سرتکیه‌گاه‌ها

E(GPa)	ΔE (GPa)	محدوده‌ی به دست آمده برای مدول الاستیسیته پس از تصحیح ارقام (GPa)
۱۲۴/۴۱۹۸	۲/۱۱۹۲	۱۲۴±۳

جدول ۱۶: نتایج به دست آمده برای مدول الاستیسیته تیر فولادی هنگام بارگذاری در دو انتهای تیر

$E(\text{GPa})$	$\Delta E(\text{GPa})$	محدوده‌ی به دست آمده برای مدول الاستیسیته پس از تصحیح ارقام (GPa)
۲۳۴/۸۸۵۰	۳۰۶۴۵	۲۳۵±۴

جدول ۱۷: نتایج به دست آمده برای مدول الاستیسیته تیر مسی هنگام بارگذاری در فاصله‌ی یک سوم از دو سر تکیه‌گاه‌ها

$E(\text{GPa})$	$\Delta E(\text{GPa})$	محدوده‌ی به دست آمده برای مدول الاستیسیته پس از تصحیح ارقام (GPa)
۲۳۹/۶۰۸۰	۴۴۷۲۱	۲۴۰±۵

از آنجایی که مدول الاستیسیته هر تیر تابع جنس آن است بنابراین می‌بایست مقدار مدول الاستیسیته محاسبه شده از هر دو روش مقداری مساوی باشد که تقریباً این طور نیز هست و علت اختلاف اندک مدول‌های محاسبه شده با استفاده از آزمایش را می‌توان به عوامل ایجادکننده‌ی خطا مرتبط کرد که در ادامه آورده خواهد شد. از طرف دیگر می‌توان میانگین مدول‌های الاستیسیته به دست آمده از طریق دو آزمایش انجام شده را با مدول‌های الاستیسیته موجود برای مس و فولاد که در مراجع معتبر آورده شده‌اند مقایسه کرد و درصد خطای موجود در آزمایش را به دست آورد. نتایج حاصل در جدول زیر آورده شده است:

جدول ۱۸: مقایسه‌ی مدول الاستیسیته به دست آمده از آزمایش و مدول الاستیسیته تئوری برای تیر مسی

$E_e(\text{GPa})$	$E_t(\text{GPa})$	درصد خطای آزمایش
۱۲۳/۸۱۵۵	۱۲۰	۳/۱۷۹۶

جدول ۱۹: مقایسه‌ی مدول الاستیسیته به دست آمده از آزمایش و مدول الاستیسیته تئوری برای تیر فولادی

$E_e(\text{GPa})$	$E_t(\text{GPa})$	درصد خطای آزمایش
۲۳۷/۲۴۶۵	۲۰۰	۱۸/۶۲۳۳

از نتایج جدول بالا مشخص است که نتایج به دست آمده برای تیر مسی از دقت بسیار بالایی برخوردار است و نتایج به دست آمده برای تیر فولادی نیز دقت قابل قبولی دارند. علل اختلاف بین نتایج حاصل از آزمایش و نتایج مندرج در جداول استاندارد را می‌توان در عوامل ایجادکننده‌ی خطا جستجو کرد که در ادامه آورده خواهد شد.

قسمت آخر بخش نتایج آزمایش به تحقیق درستی اصل دو طرفه‌ی ماکسول در دو تیر مورد آزمایش اختصاص داشت و از آنجا که میزان جابجایی نقطه‌ی میانی تیر هنگام بارگذاری در فاصله‌ی ۱۲۰ mm از تکیه‌گاه با میزان جابجایی این نقطه در هنگام بارگذاری در وسط تیر تقریباً برابر بود، می‌توان صحت این اصل را با استفاده از آزمایش تأیید کرد و عدم برابری کامل این دو جابجایی را می‌توان به عوامل ایجادکننده‌ی خطا در آزمایش مرتبط کرد که در زیر آورده شده‌اند.

علل خطا در این آزمایش عبارتند از:

- پراب ساعت حتماً در هنگام آزمایش می‌بایست بر سطح تیر عمود باشد و در غیر این صورت خطای زیادی در نتایج به دست آمده از آزمایش ایجاد می‌شود چرا که خیز عمدی نقطه‌ی میانی تیر به وسیله‌ی ساعت اندازه‌گیری نمی‌شود و بنابراین مدول الاستیسیته تیر نیز که از روی شب منحنی تغییرات جابجایی وسط تیر برحسب بار اعمالی به دست می‌آید نیز دچار خطا خواهد بود.

- ۲- تعیین محل بارگذاری به دلیل آنکه به وسیله‌ی ابزارآلات دقیق انجام نمی‌شود دارای خطاست و بنابراین استفاده از روابطی که در بخش تئوری ذکر شده‌اند برای تعیین خیز نقطه‌ی میانی تیر دارای مقداری خطا خواهد بود و بنابراین مدول الاستیسیته‌ی محاسبه شده با استفاده از این روابط نیز دارای خطاست.
- ۳- وزن آویز اعمال بار در محاسبات وارد نمی‌شود اگرچه باعث اعمال نیروی اضافی (از مقدار مورد نظر ما) بر روی تیر می‌شود بنابراین شب منحنی تغییرات جابجایی وسط تیر بر حسب بار اعمالی بیشتر از مقدار واقعی در نظر گرفته می‌شود و مقدار مدول الاستیسیته‌ی به دست آمده کمتر از مقدار واقعی خواهد بود.
- ۴- نوسان آونگ گونه‌ی آویز اعمال بار در نتایج تأثیرگذار است چرا که باعث می‌شود تا مقدار بار مورد انتظار ما بر تیر وارد نشود و در نتیجه نتایج به دست آمده از آزمایش (مانند مدول الاستیسیته) دارای خط باشند.
- ۵- جرم وزنه‌های مورد استفاده در آزمایش ممکن است دقیقاً برابر جرم نامی آن‌ها نباشد که سبب ایجاد خطا در بار اعمال شده به تیر و در نتیجه‌ی آن مدول الاستیسیته‌ی حاصله خواهد شد.

۶- جمع‌بندی و نتیجه‌گیری

هدف از انجام این آزمایش در ابتدا تحقیق خطی بودن تغییرات خیز تیر بر حسب بار اعمالی به آن و همچنین تحقیق روابط کلاسیک خیز تیر با توجه به شکل سطح مقطع است؛ هدف دیگر از انجام این آزمایش یافتن مدول ارتجاعی تیر و تحقیق ثابت بودن آن می‌باشد؛ آخرین هدف از انجام این آزمایش نیز تحقیق درستی اصل دو طرفه‌ی ماسکول است.

در بخش اول این گزارش مقدمه‌ای در مورد خیز تیر و هم چنین تیرهای خمیده آورده شده است و روش‌های موجود برای تحلیل تیرهای خمیده مورد بررسی قرار گرفته است؛ در ادامه‌ی این بخش نیز جهت گیری گزارش ذکر شده است. در بخش دوم ابتدا در مورد چگونگی استخراج روابط مربوط به خیز تیر تحت خمش خالص توضیح داده شده است و پس از آن توضیحاتی در مورد اصل دو طرفه‌ی ماسکول آورده شده است.

در بخش سوم توضیحاتی در مورد چگونگی انجام آزمایش بر روی دو تیر مسی و فولادی و همچنین وسائل اندازه‌گیری مورد استفاده در انجام این آزمایش آورده شده است و منابع احتمالی خطای طور خلاصه توضیح داده شده اند.

در بخش چهارم با استفاده از اطلاعات به دست آمده از آزمایش و هم چنین روابط خط رگرسیون به بررسی رابطه‌ی بین میزان خیز تیر و نیروی اعمالی پرداخته شد و پس از آن میزان مدول الاستیسیته‌ی تیر و میزان خطای آن محاسبه گردید. در این بخش مشاهده شد که بین مقدار خیز نقطه‌ی میانی تیر و میزان بار وارد به تیر همبستگی خطی با دقت قابل قبولی برقرار است (با توجه به ضریب همبستگی نزدیک ۱) که با فرمول‌های موجود مطابقت دارد، هم چنین در ادامه‌ی این بخش با مساوی قرار دادن شبیه خط رگرسیون با شبیه منحنی خیز تیر بر حسب بار اعمالی (که از فرمول‌های موجود در بخش تئوری به دست می‌آید) مدول الاستیسیته‌ی هر دو تیر به دو روش محاسبه شد و با توجه به روابط خطای رگرسیون میزان خطای آن نیز به دست آمد؛ در انتهای این بخش نیز صحت اصل دو طرفه‌ی ماسکول با استفاده از نتایج به دست آمده از آزمایش مورد بررسی قرار گرفت.

در بخش پنجم نتایج آزمایش مورد بحث و بررسی بیشتر قرار گرفتند و در مورد علل اختلاف بین مدول‌های الاستیسیته‌ی محاسبه شده با استفاده از دو آزمایش انجام شده و همچنین اختلاف بین آن‌ها با مدول الاستیسیته‌ی مندرج در جداول معتبر که همان عوامل ایجاد کننده‌ی خطای در آزمایش می‌باشند، توضیحاتی ارائه شد.

نتایج کلی آزمایش در زیر به صورت خلاصه آورده شده است:

- بین مقدار خیز نقطه‌ی میانی تیر و میزان بار اعمالی در هر دو تیر مسی و فولادی همبستگی خطی با دقت قابل قبولی وجود دارد، همان‌گونه که فرمول‌های موجود مؤبد این موضوع هستند. مقادیر ضریب همبستگی محاسبه شده عبارتند از:

برای تیر مسی تحت بار اعمال شده به دو انتهای آن: $r^2 = 0.9999$

برای تیر مسی تحت بار اعمال شده به فاصله‌ی یک سوم از تکیه‌گاه: $r^2 = 0.9999$

برای تیر فولادی تحت بار اعمال شده به دو انتهای آن: $r^2 = 1$

برای تیر فولادی تحت بار اعمال شده به فاصله‌ی یک سوم از تکیه‌گاه: $r^2 = 0.9999$

- مقدار مدول الاستیسیته‌ی محاسبه شده با استفاده از شبیه خط رگرسیون به کمک دو آزمایش انجام شده برای هر دو تیر مسی و فولادی با دقت بسیار خوبی با یکدیگر برابرند و علل اختلاف بین نتایج حاصله ناشی از علل ایجاد خطای در آزمایش هستند که در بخش ۵ به طور کامل توضیح داده شده‌اند. مقادیر ضرایب الاستیسیته با در نظر گرفتن خطای آن را می‌توان به صورت زیر گزارش کرد:

برای تیر مسی تحت بار اعمال شده به دو انتهای آن: $E = (123.2 \pm 0.9) GPa$

برای تیر مسی تحت بار اعمال شده به فاصله‌ی یک سوم از تکیه‌گاه: $E = (124 \pm 3) GPa$

برای تیر فولادی تحت بار اعمال شده به دو انتهای آن: $E = (235 \pm 4) GPa$

برای تیر فولادی تحت بار اعمال شده به فاصله‌ی یک سوم از تکیه‌گاه: $E = (240 \pm 5) GPa$

از آنجا که مدول الاستیسیته‌ی مس برابر 120 GPa و مدول الاستیسیته‌ی فولاد برابر 200 GPa است، مقدار خطای مدول میانگین محاسبه شده به وسیله‌ی آزمایش برای تیر مسی حدود $3/18$ درصد و برای تیر فولادی حدود $18/62$ درصد است.

- صحت اصل دوطرفه‌ی ماسکول با استفاده از نتایج آزمایش در هر دو تیر قابل تأیید است.

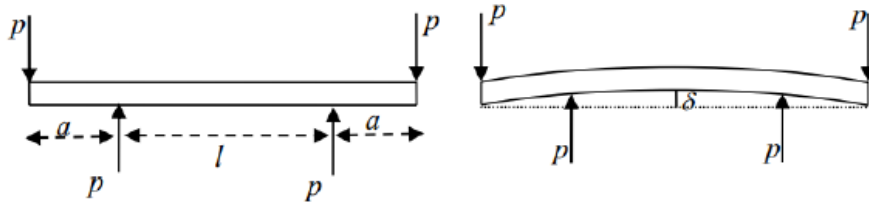
۷-مراجع

- [۱] دستور کار آزمایشگاه مقاومت مصالح
- [۲] بی، بیرون، فردیناند؛ جانستون، راسل؛ دی ولف، جان؛ زارع پور، غلامرضا؛ مقاومت مصالح، انتشارات دانش نگار، تهران، ویرایش ششم، ۱۳۹۱.
- [۳] نایبی، محمد حسن؛ مقاومت مصالح، انتشارات پوران پژوهش، تهران، ویرایش دوم، ۱۳۹۲.

۸- ضمائم

به دست آوردن خیز نقطه‌ی میانی تیر هنگام اعمال بارگذاری در دو انتهای تیر:

اگر نیروی P در دو انتهای میله‌ای با طول L که فاصله‌ی بین دو تکیه‌گاه آن برابر a و فاصله‌ی هر تکیه‌گاه از سر آزاد نزدیک آن برابر a است وارد شود (مانند شکل زیر) وارد شود، برای تعیین نیروهای تکیه‌گاهی می‌توان نوشت:



شکل ۲۱: بارگذاری در دو انتهای تیر

$$\sum M_A = 0 \rightarrow Pa + F_B l - P(l + a) = 0 \rightarrow F_B = P$$

$$\sum F_y = 0 \rightarrow F_A + F_B - 2P = 0 \rightarrow F_A = P$$

حال گشتاور خمی ($M(x)$) در هر نقطه از تیر را می‌توان با استفاده از رابطه‌ی زیر به دست آورد:

$$M(x) = EIy'' = -Px + P < x - a > + P < x - a - l >$$

با یک بار انتگرال‌گیری از رابطه‌ی بالا داریم:

$$EIy' = -P\frac{x^2}{2} + P\frac{<x - a>^2}{2} + P\frac{<x - a - l>^2}{2} + C_1$$

با انتگرال‌گیری دوباره از رابطه‌ی به دست آمده می‌توان نوشت:

$$EIy = -P\frac{x^3}{6} + P\frac{<x - a>^3}{6} + P\frac{<x - a - l>^3}{6} + C_1x + C_2$$

ضرایب C_1 و C_2 از شرایط مرزی مسئله تعیین می‌شوند:

$$x = a, y = 0 \rightarrow -P\frac{a^3}{6} + C_1a + C_2 = 0 \rightarrow C_1a + C_2 = P\frac{a^3}{6}$$

$$x = a + l, y = 0 \rightarrow -P\frac{(a+l)^3}{6} + P\frac{l^3}{6} + C_1(a + l) + C_2 = 0 \rightarrow C_1(a + l) + C_2 = P\frac{(a+l)^3}{6} - P\frac{l^3}{6}$$

$$C_1 = \frac{Pa(a+l)}{2}, C_2 = -P\frac{a^3}{3} - P\frac{a^2l}{2} = -Pa^2\left(\frac{a}{3} + \frac{l}{2}\right)$$

بنابراین:

$$EIy = -P\frac{x^3}{6} + P\frac{<x - a>^3}{6} + P\frac{<x - a - l>^3}{6} + \frac{Pa(a+l)}{2}x - Pa^2\left(\frac{a}{3} + \frac{l}{2}\right)$$

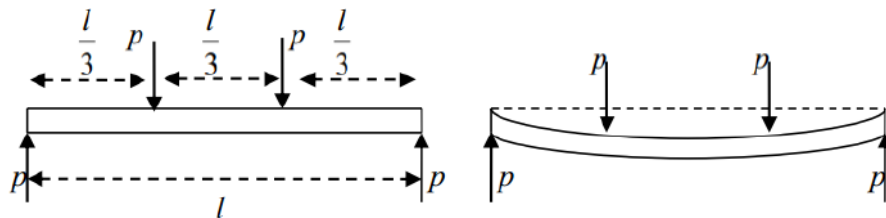
با جایگذاری مختصات وسط تیر در فرمول بالا داریم:

$$x = a + l/2$$

$$EIy = -P\frac{\left(a + \frac{l}{2}\right)^3}{6} + P\frac{\left(\frac{l}{2}\right)^3}{6} + \frac{Pa(a+l)}{2}\left(a + \frac{l}{2}\right) - Pa^2\left(\frac{a}{3} + \frac{l}{2}\right) = \frac{Pal^2}{8}$$

$$\rightarrow y = \frac{Pal^2}{8EI}$$

به دست آوردن خیز نقطه‌ی میانی تیر هنگام اعمال بارگذاری در فاصله‌ی یک سوم از دو تکیه‌گاه تیر:
اگر نیروی P در فاصله‌ی یک سوم از دو تکیه‌گاه تیری با طول L که فاصله‌ی بین دو تکیه‌گاه آن برابر ۱ و فاصله‌ی هر تکیه‌گاه از سر آزاد نزدیک آن برابر a است وارد شود (مانند شکل زیر)، برای تعیین نیروهای تکیه‌گاهی می‌توان نوشت:



شکل ۲۲: بارگذاری در فاصله‌ی یک سوم از تکیه‌گاه‌های تیر

$$\sum M_A = 0 \rightarrow -P\frac{l}{3} - P\frac{2l}{3} + F_B l = 0 \rightarrow F_B = P$$

$$\sum F_y = 0 \rightarrow F_A + F_B - 2P = 0 \rightarrow F_A = P$$

حال گشتاور خمی ($M(x)$) در هر نقطه از تیر را می‌توان با استفاده از رابطه‌ی زیر به دست آورد:

$$M(x) = EIy'' = Px - P < x - \frac{l}{3} > -P < x - \frac{2l}{3} >$$

با یک بار انتگرال‌گیری از رابطه‌ی بالا داریم:

$$EIy' = P\frac{x^2}{2} - P\frac{<x - \frac{l}{3}>^2}{2} - P\frac{<x - \frac{2l}{3}>^2}{2} + C_1$$

با انتگرال‌گیری دوباره از رابطه‌ی به دست آمده می‌توان نوشت:

$$EIy = P\frac{x^3}{6} - P\frac{<x - \frac{l}{3}>^3}{6} - P\frac{<x - \frac{2l}{3}>^3}{6} + C_1x + C_2$$

ضرایب C_1 و C_2 از شرایط مرزی مسئله تعیین می‌شوند:

$$x = 0, y = 0 \rightarrow C_2 = 0$$

$$x = l, y = 0 \rightarrow P\frac{l^3}{6} - P\frac{(\frac{2l}{3})^3}{6} - P\frac{(\frac{l}{3})^3}{6} + C_1l = 0 \rightarrow C_1 = -\frac{Pl^2}{9}$$

بنابراین:

$$EIy = P\frac{x^3}{6} - P\frac{<x - \frac{l}{3}>^3}{6} - P\frac{<x - \frac{2l}{3}>^3}{6} - \frac{Pl^2}{9}x$$

با جایگذاری مختصات وسط تیر در فرمول بالا داریم:

$$x = l/2$$

$$EIy = P\frac{(\frac{l}{2})^3}{6} - P\frac{(\frac{l}{6})^3}{6} - \frac{Pl^2}{9}\left(\frac{l}{2}\right) = \frac{-23Pl^3}{648}$$

$$\rightarrow y = \frac{-23Pal^3}{648EI}$$

اثبات اصل دوطرفهی ماکسول:

اصل دوطرفهی ماکسول به شرح زیر است:

اگر نیروی واحد در نقطه‌ی A از سازه اثر کند و تغییر مکان نقطه‌ی B برابر Δ باشد، چنانچه نیروی واحد در نقطه‌ی B از همان سازه اثر کند، تغییر مکان نقطه‌ی A همان Δ خواهد بود.

$$F_i \Delta_{ij} = F_j \Delta_{ji}$$



شکل ۲۳: اصل دوطرفهی ماکسول در تیر نشان داده شده

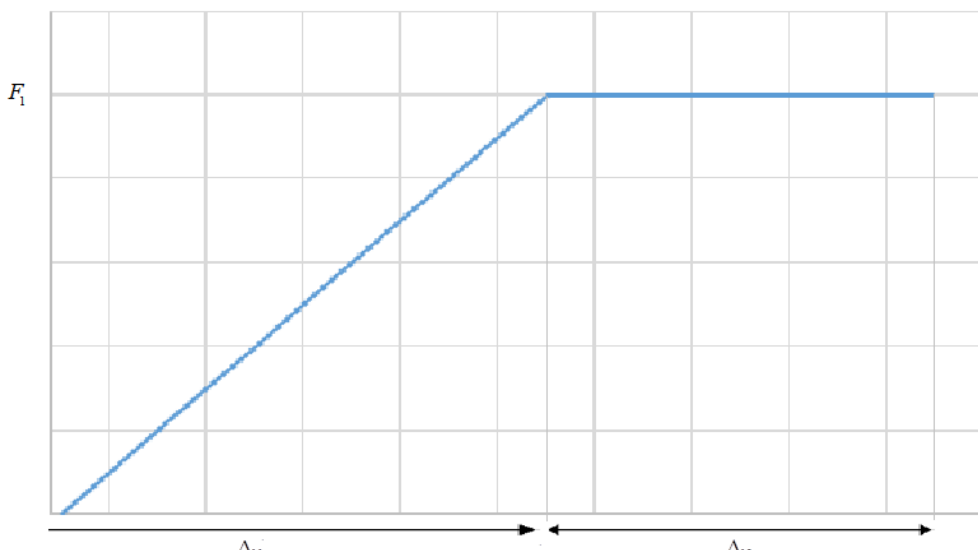
برای اثبات این قضیه کافی است، یک تیر با دو بار در نظر گرفته شود، در ابتدا بار F_1 به تیر اعمال می‌شود، جابجایی در محل اعمال بار Δ_{11} و در محل بار دوم Δ_{12} است. انرژی کرنشی سیستم بر اثر این بارگذاری برابرست با:

$$U_1 = \frac{1}{2} F_1 \Delta_{11}$$

نیروی دوم در نقطه‌ی دوم در حالی اعمال می‌شود که بار F_1 در جای خود قرار دارد، در این حالت مقدار انرژی کرنشی سیستم برابرست با:

$$U_1 = \frac{1}{2} F_2 \Delta_{22} + F_1 \Delta_{12}$$

علت این که در رابطه‌ی بالا عبارت دوم ضریب ۱ قرار داده شده است، ثابت بودن نیرو می‌باشد. همانطور که در شکل زیر مشاهده می‌شود، سطح زیر نمودار نشان دهنده‌ی انرژی کرنشی ناشی از جابجایی نقطه‌ی اول می‌باشد:



شکل ۲۴: نمودار نیروی F_1 بر حسب جابجایی نقطه‌ی اول

انرژی کرنشی کل برابر با عبارت زیر می‌باشد.

$$U = \frac{1}{2} F_1 \Delta_{11} + \frac{1}{2} F_2 \Delta_{22} + F_1 \Delta_{12}$$

حال اگر بارگذاری با نقطه‌ی ۲ شروع شود، طبق روش ذکر شده، انرژی کرنشی به صورت زیر درمی‌آید:

$$U = \frac{1}{2} F_1 \Delta_{11} + \frac{1}{2} F_2 \Delta_{22} + F_2 \Delta_{21}$$

با مساوی قرار دادن دو عبارت به دست آمده، اصل دوطرفهی ماکسول اثبات می‌شود.